

自動車専用道路の設計—特に線形理論 に就いて

正会員瀬戸政章*

要旨 本文は自動車専用道路の設計中、特に線形に関する理論を述べたるものであるが、尙一部は自動車の將來性能及規格と密接なる關係を有する爲め研究中である。本理論に関する内外文獻未だ殆んど見當らざるの時廣く各位よりの批判を得て研究の完璧を期し度い。

1. 緒論

自動車の走行のみを目標とする専用自動車道路は一般混合交通道路より高速度運轉が行はれることは蓋し當然である。又近時自動工業の發達に伴ひ、自動車走行速度と共に、重量積載運搬車並びに自動車列車の出現せる事に着目せねばならぬ。強大なる輸送力を有し駿速なる經濟的軍事的交通需要を充足せしむるべき自動車専用道路の設計に當りては、充分此の自動車の進歩と其の將來を洞察しなければならぬ事は勿論である。

由來内燃機器は他の種の機器に比し、効率高く且つ軌道を不要とする所の特長を有し高速度運行に適するに係はらず、自動車交通が近時迄等閑視されつゝあつた最大理由は只道路の粗悪と、自動車交通に即應せる道路が全く無かつた事に因る。如何に堅牢なる舗装を以つしたる道路と雖も、時速50~60キロを最大とする混合交通道路である限り、自動車交通の真價は求め得べくもない。

又混合交通を許容せざる場合と雖も、交叉個所に於て断續式乃至は循環式交通整理を行ふ自動車交通は、著しく交通量の低下、走行上の時間的距離的損失を來たすこと

とは、著者が「建設」¹卷12號に指摘せる如くである。

又自動車専用道路の有する輸送能力、及び交通運輸上よりの經濟價値は「建設」¹卷9~10號に報告せる所であつて、自動車専用道路は蒸氣機関乃至は電氣機関に即應する鐵道の如く、自動車に對する合目的的な道路を考慮せるに過ぎない。

2. 最近に於ける自動車の進歩

1. 自動車の定義

自動車とは内燃機器若しくは他の動力に依つて自から運行し得る車輛の總稱であつて、乗用車、貨物自動車、乗合自動車、多數の附隨車を牽引する列車自動車、特殊重量牽引車、サイドカー(Side-Car)、自動自轉車等の他装甲自動車、戰車乃至は輜重機、トラクターをも謂ふ。此等各種の自動車の中、自動車交通の設計速度及線形を支配するのは乗用車に因る事多く、舗裝及路床の強さを決定する素因をなすものは、重量運搬車であり、車輪幅員及曲線半径に關しては列車自動車乃至は特殊長物運搬車に依り規定される場合が多いが、此等は又密接な關係に於て自動車道路の全般的規格を決定する。

2. 自動車の速度

自動車は機器馬力を大にし、空氣抵抗を減少せしむれば、良好なる路面に於て極めて高速度を發揮し得る。

今過去10年間に於ける自動車の最高速度を記録せるものを示すと表一¹の通りである。

表一¹ 自動車に依る最高速度記録

年代	操縦者	走車名	最高速度
1898	ジヤントー	シャスループローバ	63 キロ/時

1899	ジユナツティイー	ジユナツティイー	106	"
1902	モリス	アウジエーレ	123	"
1903	フオード	フオード	146	"
1904	ダラツ・ク		166	"
1905	メルツエデス	バウデン	175	"
1927.3.29	シイーグレーヴ	サンビーム	326	"
1928.2.19	キヤンペル	ネビヤキヤンペル	331,1	"
1928.4.22	レーギー・チ	ホワイト・トリプレックス	332,1	"
1929.3.11	ジイーグレーヴ	ゴールデンアロー	370,2	"
1931.2.5	キヤンペル	ネビヤキヤンペル	393,2	"
1932.2.24	キヤンペル	(ブルー・パード) (或はネビヤキヤンペル)	406,4	"
1933.3.	キヤンペル	"	436,8	"
1935.9.3	キヤンペル	"	497,6	"

即ち1935年9月、米國フロリダ州デートナ海岸に於ける英人マルコム・キャンベル(Sir. Malcolm Campbell)に依つて操縦された Blue-Bird 號は 497.6 軒/時の驚異すべき記録を出して居り、又12年前にして英人シーグレーブ(Major. H.O.D. Segrave)は前記海岸に於て 370.2 軒/時を金矢號(Golden Arrow)に依つて出してゐる。前者は最大 2,500 IP、後者は最大 1,250 IP を有する極度に流線型化(Stream Lining)せる競争用自動車である。此の 500 軒/時の自動車速度は、國際航空聯盟(Fédération Aéronautique Internationale)に於て公認されてゐる G.H. Stainforth が 1911 年 Supermarine 號(2,300 IP 水上機)に依る飛行機最高速度 655 軒/時に近く、最近伊太利に於て示された飛行機最高速度 709 軒/時の 70% を有す。

普通乗用車に於ても、30~40IPの通常機関を以つて時速150~160kmを出し良好なる道路を快走せんとしつゝある。以下若干機関馬力と速度と流線型化の關係につき述べて見よう。一般に自動車の走行中の全抵抗Rは、

自動車全抵抗... {
 走行抵抗... {
 加速抵抗
 勾配抵抗
 } 繞轉抵抗
 空氣抵抗

に分類される。走行抵抗(R_f)は速度の増加に伴ひ、

三次式で増加することは凡そ明らかであつて、

$$Rr = a + bv + cv^2$$

第二項は一般に小なる値を取るから

となすを得。又 R_f は **延轉抵抗** (R_1) と **空氣抵抗** (R_2) に分ち得、延轉抵抗は道路面と輪帶の變形、路面の凹凸に原因し、空氣抵抗は風壓、即ち自動車の前窓及後尾に生ずる**真空** (**渦の發生**) 乃至**空氣**に因る表面摩擦に因る。

運動抵抗 R_d は自重に比例し、空気抵抗は車體の前面の投影面積に比例するから、自重を W (kg)、投影面積を A (m^2)、空氣に對する車體の相對速度(Relative Velocity)を V (km/h)とせば、 R_d は

$$Rr = f_1 \cdot W + f_2 \cdot A \cdot V^2 \quad \left. \right\} \dots (1)$$

f_1 = 積體抵抗係數、 f_2 = 空氣抵抗係數

となる。又加速抵抗 R_a は自動車の加速度を a (m/sec^2) 重力加速度を g (m/sec^2) とせば、

ε = 自動車運転部分の慣性の換算係数 ($\varepsilon \approx 0.07$)

勾配抵抗をと R_g とし、勾配を $G(\%)$ で表はすと、

従つて全抵抗Rは

$$R = R_1 + R_2 + Ra + Rg = f_1 \cdot W + f_2 \cdot AV^2 + \dots$$

$$\frac{G}{100} \cdot W + \frac{(1+\epsilon)}{g} \cdot a \cdot W$$

$$R = \left(f_1 + \frac{G}{100} + \frac{1+\epsilon}{g} \cdot a \right) W + f_2 A V^2$$

..... (4)

となる。水平道路を等速運動をなす時は、(1)i式でよい。 f_1 は良好なる舗装道路に在りては 0.008~0.01 であり、 f_2 は流線型に設計せるものは 0.002~0.003 で、流線型ならざるものは、0.004~0.005 である。而して Rなる全抵抗を受ける自動車が、 $V \text{ km/h}$ で走行する時の機械出力を Lとせば、

$$L = \frac{B \cdot V}{270 \eta} \quad \dots \dots \dots \quad (5)$$

η = 動力傳達装置の全機械効率

である。従つて機関出力 L(IP) は

$$L = \frac{f_1 W V + f_2 A V^2}{270 \eta}$$

$$\text{or } \left(f_1 + \frac{G}{18} + \frac{1+\epsilon}{g} \right) a W + f_2 A V^2 \quad (6)$$

で表はされる。即ち空氣抵抗の馬力に與へる影響は V の 3 乗で表はれ、如何に流線型化が必要なるかが明瞭である。

図-1

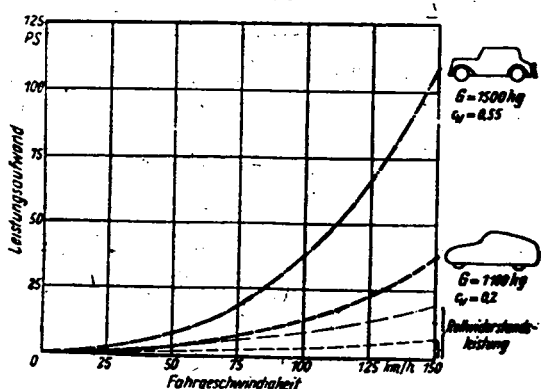


表-2. 獨逸貨物自動車の規格

種別	重量	車幅	車輛長	車輪荷重	軸距	車體高	速度
空氣入輪帶	7噸以下	2.35m以下	22.0m以下	制限ナシ	0.3m/t以上	4.0m以下	制限ナシ
	7噸以上	2.50m以下	22.0m以下	制限ナシ	0.3m/t以上	4.0m以下	制限ナシ
彈性ゴムタイヤ	—	—	—	輪帶巾 1輪 = 付 125kg	—	—	25軒/時以下

ある。普通用車と流線型化せる自動車の傳導出力 (Leistungsaufwand) と速度 (Fahrgeschwindigkeit) とを比

図-2



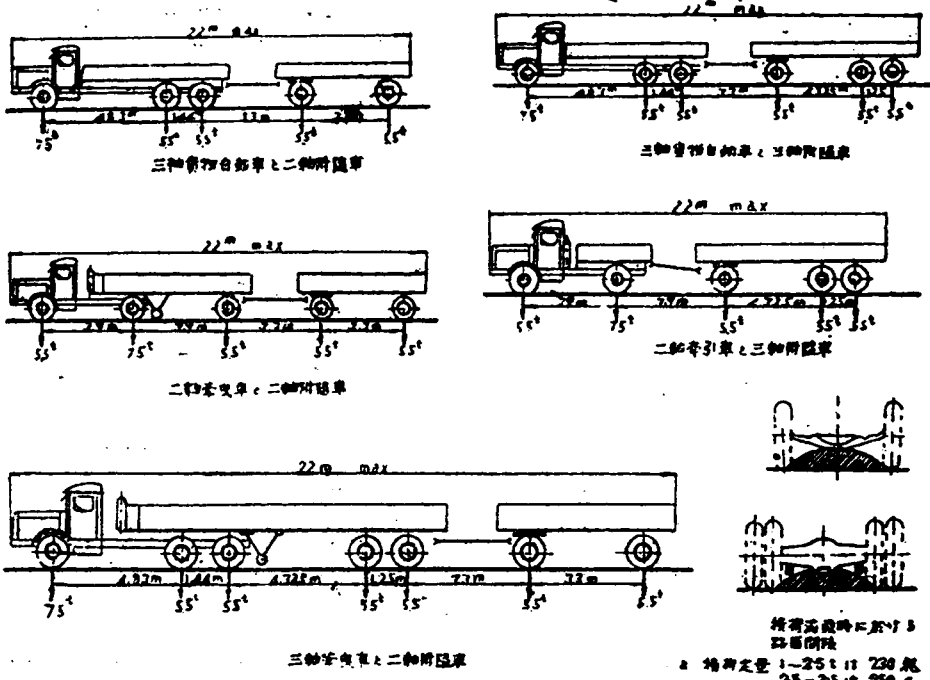
較せるものが図-1 である。本試験は獨逸の Prof. Dr. Ing. W. Kamm に依り將來の自動車 (Der Künftig Autobahnwagen) を風洞 (Wind Kanal) に於て試験せるものであつて、運轉抵抗出力 (Rollwiderstand-leitung) は空氣抵抗出力 (Luftwiderstand-leitung) に比し極めて小である。又新舊兩車に於ける空氣抵抗値 (Luft-widerstand-beiwert) G_w は大なる相違を示してゐる。図-1 は風洞實驗車を示す。

本試験に於て明らかなる如く、30~40IP の乗用車で優に 150~160 軒/時 の走行能力を示し得る。現在獨逸の國民自動車 (Volk-Wagen) はファイアット級であるが、120~130 軒/時で自動車専用道路を快走してゐる。

3. 自動車の形態

自動車の性能の進歩に伴ひ、重量積載運搬車、乃至は、列車自動車の運行が蒙米、特に獨逸で行はれつゝある。図-3 は獨逸に於ける法規上の貨物自動車寸法を示すが、是を要約すれば表-2 の如くである。

図-3



荷重運搬時に於ける
路面荷重

- a 荷重重量 1-25t 1t 220kg
- 25-35t 1t 250kg
- 1-2.5t 4t 200kg
- 2.5-3.5t 1t 210kg

即ち軸距(Wheel Base)をBとし、前輪荷重をW₁、後輪荷重をW₂とせば、重さを(噸)、Bを(米)で表ははず時
 $B \geq 0.3(W_1 + W_2)$ (6)

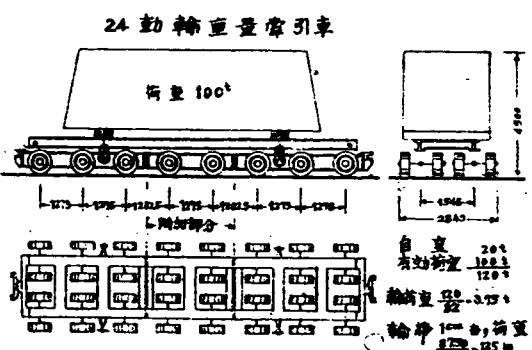
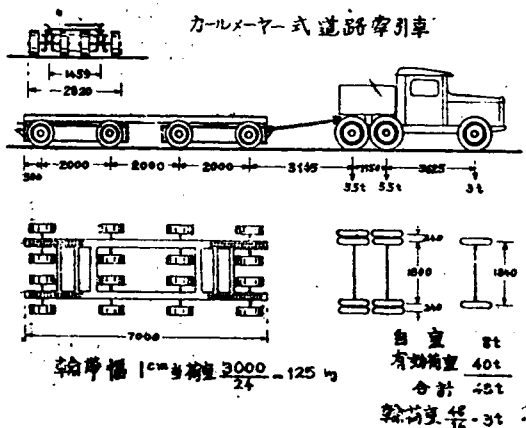
となし最大許可軸圧に對する最小軸距を規定してゐる。例へば前輪5.5t 後輪7.5tの時はB=0.3 (5.5+7.5)=3.9mを得て軸距を求め得る。

又彈性ゴムタイヤーの場合は主として重量積載車であ

るが之の時は、荷重を可及的等分布せしむる如く車輪を配置し且、輪帶幅 1cm當りの許容荷重を125kg以下としてゐる。

此等は自動車の許容軸重と路面と軸距に一定の關係を與へ、鋪装に與へる影響を制限してゐるものであり、又輪帶幅の単位當り荷重を制限することに依り、輪帶の極端なる破損乃至は舗装の破損を防ぐに留意せるものであ

図-4



る。(空気入ターナーに在つては壓縮空氣の壓力に限度ある爲め制限の必要なし)

圖一4は重量運搬車の構造を示すものであるが、48~120tの重量運搬車に於て荷重が路面に等分布され且輪荷重は彈性ゴムタイヤの許容荷重以内の荷重を受ける。

又特殊なる長物を運搬する牽引車があり、又自動車が長物運搬をする爲めにSemi-trailerを連結する場合もある。圖一5は運轉盤を有する運搬車を牽引する自動車を示し、圖一8は20m以上の長物木材を運搬する情景を示す。

斯く180~200馬力の重量牽引車が、150t以上の運搬物を牽引し強大なる輸送力を示してゐるのが、獨逸の最近の情況である。

自動車専用道路は高級なる舗装を必要とし、相當の耐久年限を考へるから充分自動車の進歩を考へ之に即應せねばならぬ。又自動車専用道路線形の設計に當つては、自動車の速度は線形と路面情況に關係を有するが舗装及路床の強さに無關係である事に着想するならば、地形平坦なる地方は可及的に將來を考へ高速度に耐へるべく線形を定めるべきである事が明かである。又重量牽引車の交通に當つても上記の如く、可成く等分布荷重とし、舗

装の負荷を制限することに依り舗装厚を必ずしも増大する必要はない(著者は獨逸の科學的考察に多大の敬意を表してゐる。)

3. 路面と輪帶との摩擦係数

1. 摩擦係数に関する從來の觀念

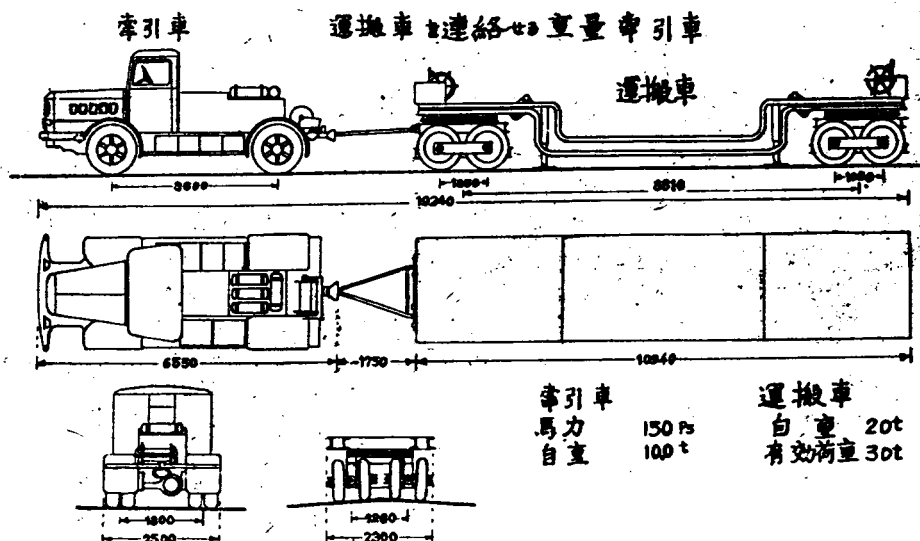
路面と輪帶との摩擦係数は從來より固有の路面に對して固有の輪帶面の與へる値は一定として考へられて來た。然しそれ最近に於ける米國の實驗、或は獨逸の摩擦係数に對する觀念は、速度と共に之が減少し、又輪帶の接觸面積の大小に依り異なることを物語つてゐる。接觸面積の大小或は速度の大小に依り摩擦係数が異なるといふことは今後の自動車道路の設計に重大なる問題を提供してゐる。

2. 米國に於ける摩擦係数の實驗研究

R.H. Baldock (Chief Eng. Oregon State Highway) は1938年摩擦係数に關する詳細なる實驗を發表した。(Public Road, V19 No. 6) 該實驗研究には米國の各大教授、各州道路技師、アスファルト及びセメント協會員等約25名の權威者が參加したる從來に見られざる大規模の調査であるが、之を要約すれば次の如くである

(1) 粗なる平坦路面又は Sand paper の如き路面

圖一8



- は多少の凹凸ある Rough Surface よりも辺り難い。
- (2) 濡潤路面では速度の大に伴ひ摩擦係数は減少する。
- (3) 濡潤路面では沥青舗装の Asphalt 又は Tar Binder が硬い時は他の舗装より摩擦係数が大である。但し表面に游離アスファルト膜(Free Asphalt Film)の在る時は辺り易くなる。
- (4) 濡潤セメントコンクリート舗装は、アスファルト舗装の同一構造のものより辺り易いのは、コンクリートの表面が排水し難い性質を有し、水膜(Water Film)を作る事に起因する。
- (5) 舗装が同一条件の時は、輪帶の大なる程摩擦係数は大となる。此れは二物體の摩擦抵抗と輪帶の大小に依り増減する機械抵抗の和が、全摩擦抵抗として表はれてゐる事を證明するものである。
- (6) 辺り抵抗を最大にし、且路面水膜を形成する水の表面張力を減ずるには、小突起のない肌の細かい Sand Paper 仕上としなくてはならぬ。
- (7) 小凹凸のある路面は速度の大なるに伴ひ輪帶へ路面との密着を悪くし機械抵抗を減ずるから摩擦係数は小となる。
- (8) 結論として適當な排水勾配を考へ、ツルツルした路面を避け、凹凸を作らず新しい大きな輪帶を用ひる事は摩擦抵抗を大にし且速度の増加に伴ふ、摩擦係数の低下を減じ得る。

尙本實験には路面の摩擦と光の反射に関する詳細なる研究を發表してゐる。本實験の結果を謹めたものが、圖-7及び圖-8である。舊タイヤー使用の濡潤状態に於ては速度の增大に伴ひ著しく摩擦係数が減少してゐる。又此の實験に供せられた舗装の種類は種32の多きに亘りアスファルト舗装(A)、タル系舗装(T)、セメントコンクリート系舗装(C)、煉瓦舗装(B)、等は他の特殊なアスファルト板(AP)、鋼板(SP)、木板(WP)乃至は碎石道(G)、より遙かに速度に依り摩擦抵抗の減少率が大なる事を示してゐる。

又縦辺りと横辺りを比較すると、縦辺りは速度の増大と共に漸次的減少を示してゐるが横辺り抵抗は速度の増

圖-8

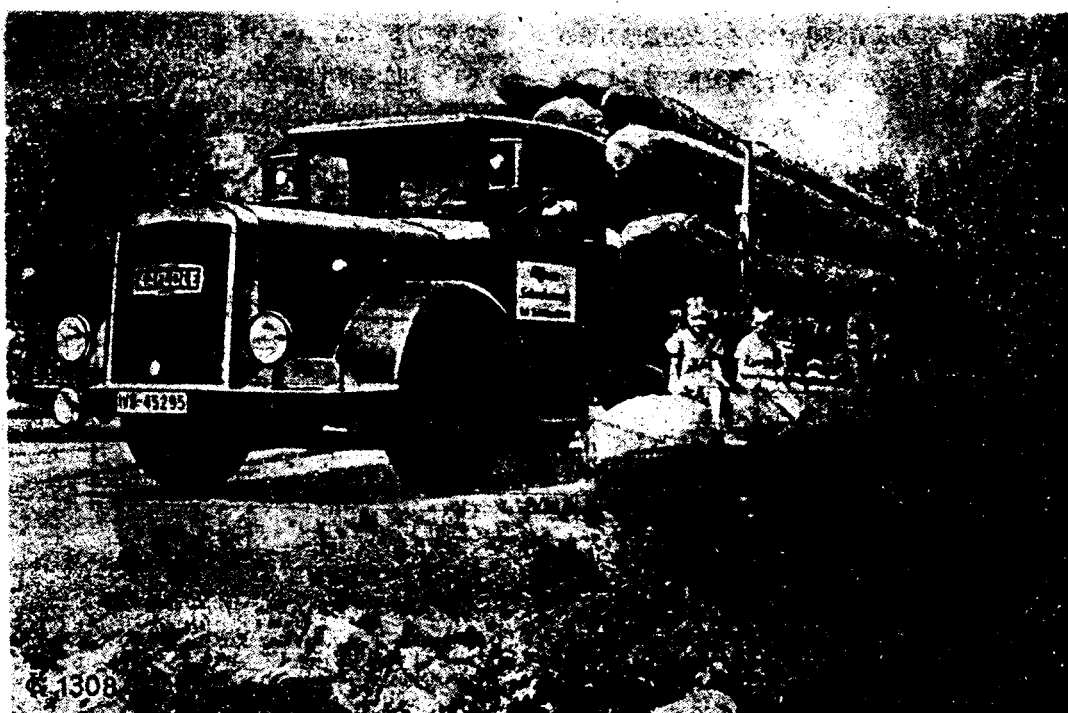
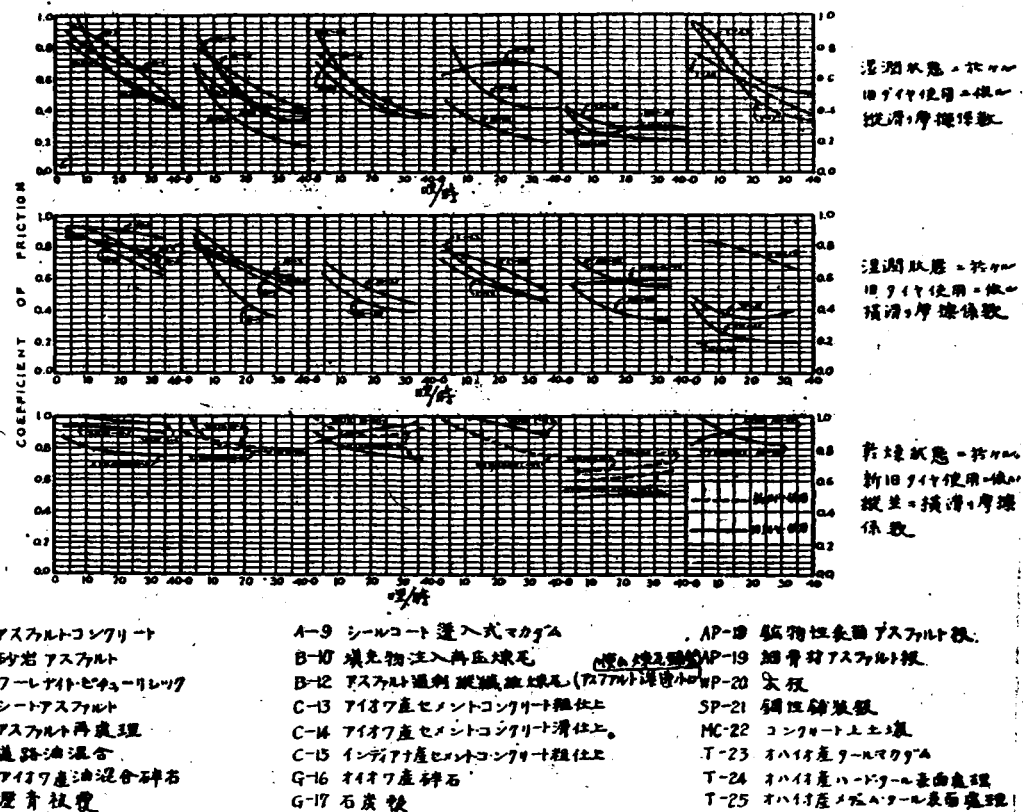


図-7

摩擦係数と自動車速度との関係



と共に急激なる低下を示してゐる。

コンクリート系舗装の摩擦係数の測定に關し、内務省土木試験所報告第40號に撒水路面の實験があるが、是れに於ては概にりば速度の増大に伴ひ漸近的減少を示してゐるが、横にり係数は0.15~0.2の一定値示した。

3. 摩擦係数の規定

高速度自動車の走行を目的とする道路の設計に際し摩擦係数を如何に定めるかは重要な問題である。

既に摩擦係数は R. H. Ballock の報告に於ても、濕潤路面の 0.4 以下なる時は高速度走行に危険を感じることが報告されて居り、又摩擦係数は速度の増加に伴ふ減少率は少ない。摩擦係数は速度と共に低下する率が多く且内務省の實験結果に之を徵するも係数より小なる値を示してゐる。

又獨逸の自動車専用道路の設計に當りても、之を裏書

する如く摩擦係数は 0.4~0.5 なるに反し、摩擦係数は高速度運行に 0.08 位を取つてゐる。摩擦係数を小に反することは結果的に片勾配を強くし、車輛の安定度を増すと共に、曲線部走行時に車内の人員が遠心力方向に倒れんとする座乗不安定感を減ずる事に大いに役立つ事に着眼すべきであらう。

從つて摩擦係数は 0.4~0.5 位に取り、是より路面及輪帶面が干き易き時は稍々速度を下げることとし、横にりは充分小さく取り、必要より稍々強き片勾配を設し自動車走行の安全感を増す爲め 0.05~0.15 を取り設計に當る

4. 自動車専用道路の曲線形に就いて

1. 設計走行速度

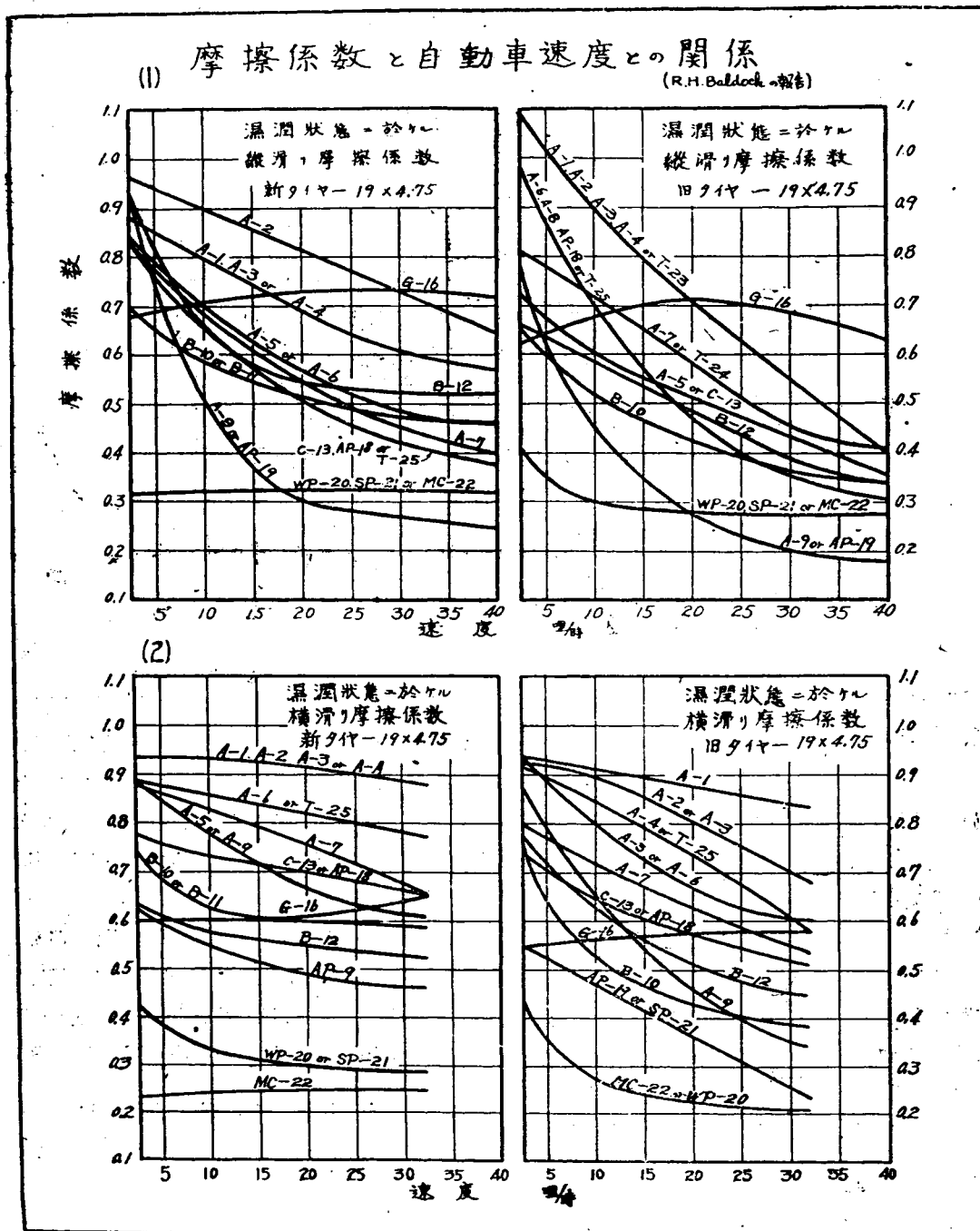
自動車専用道路の設計速度は地勢乃至は自動車工業發

達の水準に依り多少の相違はあるにせよ、主に於いて述べた如く小馬力の普通常用車が150 km/hを僅に出し、一方一層高速度自動車が、實用化されんとしつつある現

今、少く共自動車の専用に供する道路の設計速度は120 km/h乃至160 km/hを適當とする。

獨逸のライヒス・アウトバーンは、設計速度を次の種

圖-8



に分ちてゐる。

1. 級 160km/h 平坦地方 (Flachland) 標高150m以下
2. 級 140km/h 丘陵地方 (Hügeland) 標高150m~350m
3. 級 120km/h 山岳地方 (Bergland) 標高350m以上

此の設計速度は大體良く現今乃至將來自動車の性能を

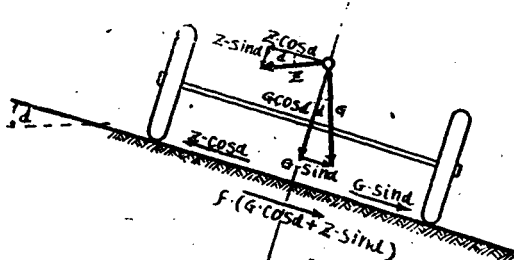
■-9

發揮せしむる様であり當を得たものである。米國和蘭の自動車専用道路は135km/h~150km/hの最高速度で設計してゐる。本文に於ては獨逸の夫れと同様の160km/h(平坦部)140km/h(丘陵部)120km/h(山岳部)として設計理論を研究することにする。但し平坦部、丘陵部、山岳部の限界は必ずしも標高のみを以つて決定し得ない。

2. 平面曲線と片勾配

平面曲線上を走行する自動車が危険を生ずる原因は、

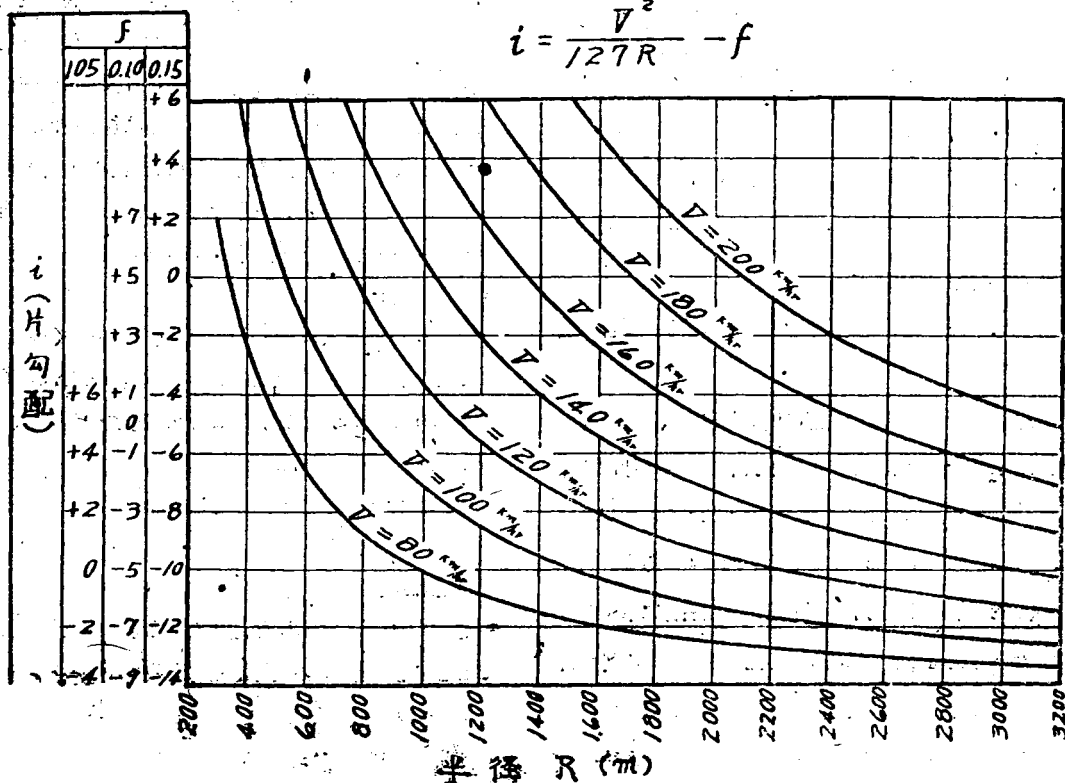
■-10



■-11

曲線と片勾配

$$i = \frac{V^2}{127R} - f$$



遠心力に因る横けりと、横けりから発生する転倒とである。而して横けりと転倒の現象は高速度運行に於ては、同時に起るから横けりに対する考究のみを以つて足りる。

図-9及び図-10は遠心力の働く場合の内側及外側へ傾斜する時の自動車の平衡状態を示す。

$$Z = \text{遠心力} \quad (\text{kg}) \quad f = \text{横けり摩擦係数}$$

$$G = \text{車両及積荷量} \quad (\text{kg}), \alpha = \text{路面傾斜角}$$

$$R = \text{平面曲線半径} \quad (\text{m}), g = \text{重力加速度} \quad (9.81 \text{m/sec}^2)$$

$$v = \text{自動車走行速度} \quad (\text{m/sec})$$

とせば、路面が内側へ傾斜せる時を(+)とし、外側へ傾斜せる時を(-)となすことから、

$$\left. \begin{aligned} f(\cos\alpha \pm \sin\alpha) &> Z \cos\alpha \mp G \sin\alpha \\ Z &= \frac{Gv^2}{gR} \end{aligned} \right\} \dots\dots\dots (7)$$

が成立する。之を書きかへると横けりせざる爲めの條件は、

$$Z(\cos\alpha \pm \sin\alpha) \leq Z G \cos\alpha \pm G \sin\alpha \dots\dots\dots (8)$$

今横勾配を i とせば、 $i = \tan\alpha$ であつて、又 $f \sin\alpha$ が極めて小なる故之を省略すると、 $Z = \frac{Gv^2}{gR}$ を代入し

$$v^2 \leq gR(f \pm i) \dots\dots\dots (9)$$

を得る。 v の代りに $V(\text{km/h})$ を代入せば、

$$i = \frac{V^2}{127R} \pm f \dots\dots\dots (10)$$

となり周知の公式を得る。

今曲線半經片勾配を、 $f = 0.05, 0.10, 0.15$ なる場合に就き算出すると図-11を得る。

又平坦部、丘陵部及山岳部に於て曲線半經と片勾配の関係を求め、之に路面排水に必要な許容最小勾配1.5%より小なる勾配の場合を一切-15%（逆勾配）としたる時の外側車道の片勾配を示すものが表-3である。

但し内側車道（自動車専用道路には左右各二車線を有せしめ一方交通とす）に在りては路肩方向へのみ排水を考へるものとする。尙獨逸アウトバーンの丘陵、山岳部のカントは表-3よりも強くなつてゐる。

表-3 平面曲線半經と片勾配

片勾配 %	平 坦 部	丘 陵 部	山 岳 部
	$\bar{V} = 116 \text{km/h}$ $f = 0.05$	$\bar{V} = 140 \text{km/h}$ $f = 0.10$	$\bar{V} = 120 \text{km/h}$ $f = 0.15$
6.0	1,800~1,900	1,000m	600m
5.5	1,900~2,000		
5.0	2,000~2,100	1,000~1,050	600~635
4.5	2,100~2,250		
4.0	2,250~2,400	1,050~1,100	625~650
3.5	2,400~2,550		
3.0	2,550~2,700	1,100~1,200	650~700
2.5	2,700~2,900		
2.0	2,900~3,200	1,200~1,400	700~750
1.5	3,200~5,800	1,400~3,200	750~1,300

註 準を附したる曲線半經以上は之を用ひざる事なし
士 1.5%の間の勾配は凡て1.5%の「カント」となす。

3. 平面曲線長

平面曲線長 (Horizontal Curve Length) は通常は曲線中心長、又は普通、曲線長と呼ばれるが特に継続曲線長に對して上記の如く名付けた。曲線部に於て交角が小なる時は、運轉者に危険感を與へ、且時に直線から曲線へ入り更に直線部に入る時、操作に危惧を懷かし延べては事故発生の素因をなす。故に交角小なる時と雖も最小限度3秒間の曲線走行長さが必要である。 t 秒を曲線上の走行時間とし、走行速度を $V(\text{km/h})$ とし、曲線長を C.L とせば、

$$C.L = \frac{t \cdot V}{3.6} \quad (\text{m}) \dots\dots\dots (11)$$

で表はされる。高速度なる爲め $t = 4.5$ 秒とせば、 $V = 160 \text{km/h}, 140 \text{km/h},$ 及び 120km/h に對する C.L は夫々、 $200\text{m}, 175\text{m},$ 及び 150m を得る。

又半經 R と曲線長 C.L と交角 I の間には、

$$R = \frac{180^\circ \cdot C.L}{\pi \cdot I} \dots\dots\dots (12)$$

の關係がある。

從つて R が一定で C.L を制限された時 I は大としなくてはならぬ。図-12は是等の關係を示す。

3. 軒間安全視距

茲に謂ふ軒間安全視距 (Day-Light Safety Sight

Distance) は後述する夜間安全視距 (Head-light Safety Sight Distance) に對して名附けた新しき道路工學用語であるが從來の安全視距を指すのである。

(1) 故障車に遭遇し停止せんとする時、

此の場合は所謂自動車の安全視間隔であつて此れば、制動操作をする間(反応時間)に走行する距離と、停止に要するエネルギー消費時間の走行距離との和である。即ち、

$$V = \text{自動車速度} (\text{km/h})$$

$$Q_h = \text{制動軸の荷重} (\text{kg})$$

$$f_1 = \text{摩擦係数}$$

$$Q = \text{自動車の全重} (\text{kg})$$

$$S_0 = \text{安全視間隔} (\text{m})$$

$$g = \text{動加速度} (\text{m/sec}^2)$$

とせば、 S_0 は次の如へなる。

$$S_0 = \frac{V}{3.6} + \frac{Q \cdot V^2}{2g(3.6)^2 f_1 Q_h} \quad \dots \dots \dots (13)$$

單車運行の時は多く全輪制動であるから、 $Q_h = Q$ となし得て、

$$S_0 = 0.278V + 0.00894 \frac{V^2}{f_1} \quad \dots \dots \dots (14)$$

を得る。 f_1 を $V = 160, 140$, 及び 120 km/h の場合に夫々、 $f_1 = 0.40, 0.45$ 及び 0.50 として S_0 を求めれば、各速度に對して $S_0 = 288\text{m}, 212\text{m}$ 及び 150m を得る。

(2) 急停車に遭遇し回避進行する場合、

疾走中の自動車の先方を走りし車が急に停止したる時、之を回避進行する場合は後車は図-13の如く蛇行する。之の時一方交通車道に在りては排水溝断勾配(1.5%)があるから左折半径と右折半径は異なる。而して、

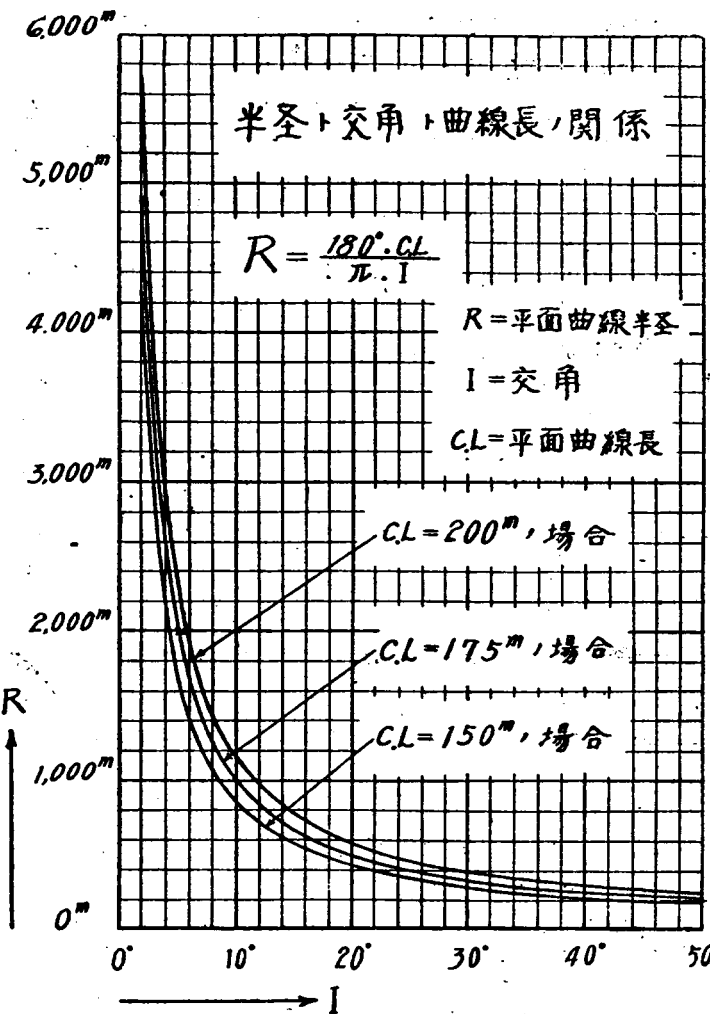
$$S_0 = \frac{V}{3.6} + R_1 \sin \alpha + R_2 \sin \alpha \quad \dots \dots \dots (15)$$

が成立し、横走り摩擦係数を f_2 とせば、

$$R_1 = \frac{V^2}{127(-i + f_2)}, R_2 = \frac{V^2}{127(+i + f_2)} \quad \left. \right\} (16)$$

$$(R_1 + R_2)(1 - \cos \alpha) = a + b = \text{Const.}$$

■-12



なる關係を有す。又 $R_1 \cos \alpha = R_1 - a$, $R_2 \cos \alpha = R_2 - b$ より、

$$\cos \alpha = \frac{R_1 - a}{R_1} = \frac{R_2 - b}{R_2}$$

$$\sin \alpha = \sqrt{1 - \cos^2 \alpha}$$

$$= \sqrt{1 - \left(\frac{R_1 - a}{R_1}\right)^2} = \sqrt{1 - \left(\frac{R_2 - b}{R_2}\right)^2}$$

$$= \sqrt{\frac{2R_1 a - a^2}{R_1}} = \sqrt{\frac{2R_2 b - b^2}{R_2}}$$

を得て(15)式に $\sin \alpha$ を代入せば、

$$S_0 = \frac{V}{3.6} + \sqrt{2R_1 a - a^2} + \sqrt{2R_2 b - b^2} \quad \dots \dots \dots (17)$$

を得る。 $a + b$ 即ち二車線中心間隔を、現在自動車の最大幅2.5m(日満にはなし)の1.5倍即ち3.75mとして、に速度に即應したる値を與へ(17)式を計算し(1)の場合と比較

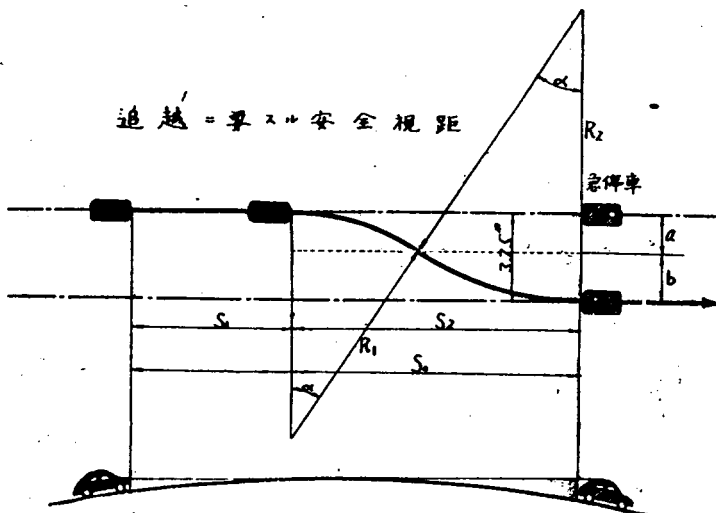
したものは表-4の通りである。(2)の場合は縦断曲線上に於ける停止車に遭ひたる場合にも近似的に適用し得る。(1)及び(2)の場合の大なるものを安全視距とする。

縦断の道路は混合交通路(Mixed Traffic Highway)である爲め勾配は馬の牽引力に依り

表-4 距 間 安 全 視 距 の 値 (m)

速 度	急停車に遭ひ停止する時		急停車に遭ひ回避する時		距 間 安全 視 距 採 用 値 S_o
	f_1 の 値	S_o の 値	f_2 の 値	S_o の 値	
平坦部160km/h	0.40	288	0.05	303	300
丘陵部140km/h	0.45	212	0.10	194	210
山岳部120km/h	0.50	149	0.15	139	150

図-13



(3) 平面曲線上の安全距離

曲線上を進行中の自動車が先方曲線上の障害物を見透し得る爲めの安全視距は図-14に示す通りである。

平坦部、丘陵部及び山岳部に於ける最小平面曲線半径1800m、1000m、及び600mに對應する内側車線よりの障害物に到る距離mは夫々6.50m、6.00m、及び5.00mとなるから、路肩側溝(法を含む)の幅で足り切取りの場合と雖も段切りを必要とせぬ。

路面上の障害物の高さは0.2mとせる爲め、運転者の目の高1.20mより見透し高さを求れば0.6mとなる。

(図-14)

5. 縦断勾配及び縦断曲線形

(1) 縦断勾配に就いて、

制限されてゐた。自動交通に於ては輕乗用車は6%の勾配を相當長い距離に亘りギヤーを變更することなく昇り得、10%にして下段を使用し、又相當な重量貨物自動車は5%迄はギヤーを變へず其の儘昇り8%にして下段を使用する。

勾配を急にすれば土工費を節約し得るが、一方に於て燃料を不經濟にし駆送力を減ずるに到るので勾配は餘り大とせざるを可とする。獨逸のアウバーンに於ては、平坦、丘陵及山岳部の最急勾配を夫々4%、6%及び7%とし、特殊箇所は8%迄許し

てゐる。又アメリカに於ては最急勾配を漸次低下し隧道を生ずるも勾配を緩にする方針に移行しつゝある。ペンシルヴァニア・ターンpike(Pennsylvania Turn-Pike)に於ては270杆位の間に7個の隧道を生じたが全部勾配を3%以下としてゐる。

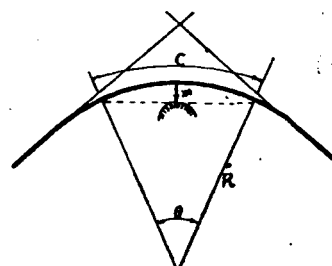
本文に於ては満洲に適應せしむる爲め、平坦部、丘陵部及び山岳部の最急許容勾配を夫々3%、5%及び6%となすを適當とした。

(2) 縦断曲線半径及縦断曲線長、

坂路の勾配の急變する箇所には縦断曲線を挿入すべきは當然であつて、之に依り車輌の衝撃を減じ、見透を擴大し自動車の走行を安全ならしめなくてはならぬ。曲線の大きさは見透と衝撃から求められる。

図-14

見送=係ル安全視距



$$C = \sqrt{8m(R - \frac{m}{2})}$$

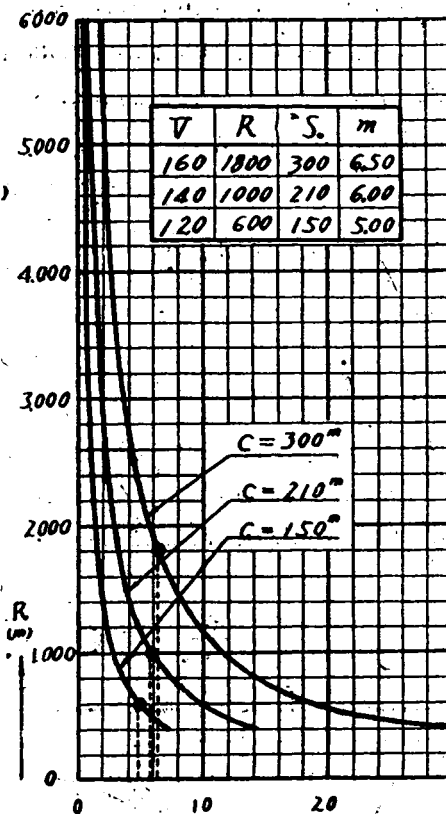
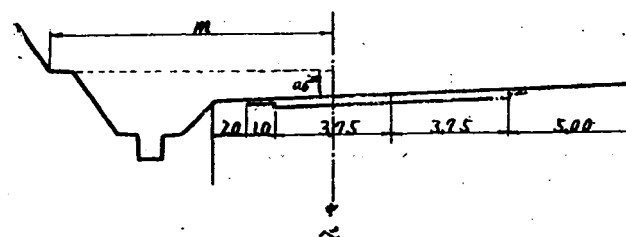
C = 見送距離 (m)

R = 屈曲部中心線

半径 (m)

m = 道路中心線上0.6m高に於ける
中心線ヨリ直角方向に於ける
ケル屈曲部内側法面又は
障害物ニ至ル最大距離 (m)

m の計り方



又安全視距より考ふる時に見送距離 S_o が、曲線長 L より大なる場合と小なる場合がある。

$S_o < L$ なる場合、

図-15 に於て、

$$S_o = S_1 + S_2 = \text{安全視距}$$

h_1 = 連轉手の見の高さ

h_2 = 障碍物の高さ

L = 横断曲線長

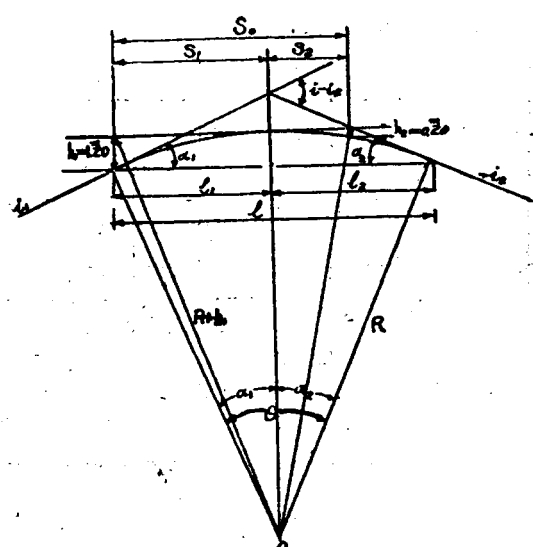
R = 横断曲線半径

i_1 = 自動車の在る勾配 (+)

i_2 = 障碍物の在る勾配 (-)

とする。

h_1 は從來 1.4m とせるも自動車は高速度と共に低くなる傾向があり 1.20m とする。又 h_2 は多く h_1 と等しく考へてゐたが、高速度運行には些細な路上障害物が事故



の原因となるから之を後輪の差動歎車にかかる程度のもの以上として、 $h_3 = 0.2m$ とする。(■-3参照)従つて、

$$(R+h_1)^2 = S_1^2 + R^2. \quad (R+h_2)^2 + S_2^2 + R^2$$

$$\therefore S_0 = S_1 + S_0 = \sqrt{2Rh_1 + h_1^2} + \sqrt{2Rh_2 + h_2^2}$$

S_0 を2乗し h_1^2 及び h_2^2 の項を省略すれば、

$$R = \frac{s_0^2}{2(h_1 + h_2) + \sqrt{4h_1 h_2}} \quad \dots \dots \dots (18)$$

を得る。又 $L = R(i_1 - i_2)$ なる関係を入れれば

$$L = \frac{h_0^2 (i_1 - i_2)}{2(h_1 + h_2) + 4\sqrt{h_1 h_2}} \dots \dots \dots (19)$$

が得られる。 $h_1 = 1.20\text{m}$, $h_2 = 0.2\text{m}$ を(18)及(19)式に

代入せば、

となる。図-18は走行速度と安全視距と縦断曲線半径の関係を示す。例へば $V=160\text{km/h}$ なる時の安全視距は約、300mであり之の時の縦断曲線半径は19,000mとなる。

る。

此の半径は速度のみに關係を有するから、平坦、丘陵山岳部と通じ各 1 個宛しか存在せぬ。勾配に因つて曲線が變はる丈である。

$S_o > L$ の場合、

圖-17に於て

$$AB = R_{\text{tang}1} = R_{11}$$

$$AC = R \tan \alpha_2 = Ri_2$$

$$Ri_1 = AE(AE + 2R)$$

$$= (S_1^2 i_1^2 - h_1)(S_1 i_1 - h_1 + 2B)$$

$$= S_1^2 i_1^2 - h_1(2R - h_1) + 2S_1 i_1(R - h_1)$$

$2R - h_1 \doteq 2R$. $R - h_1 \doteq R$ とせば

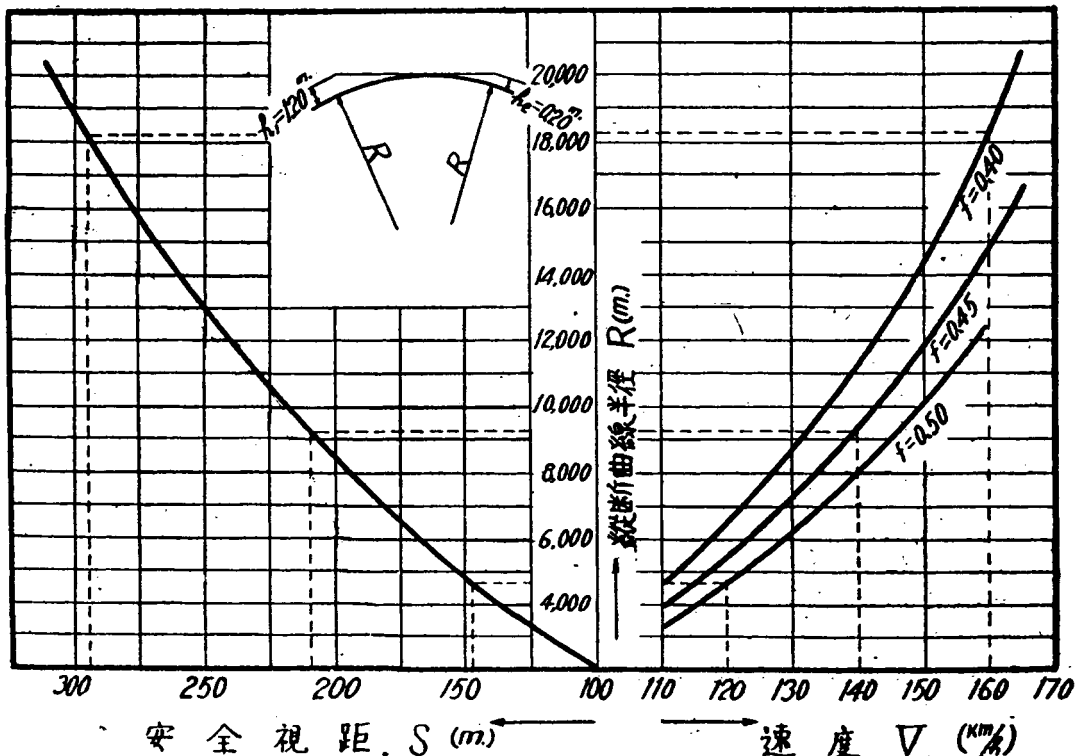
$$R^2 i_1^2 = S_1 i_1 (2R + S_1 i_1) - 2Rh_1$$

$2R + S_1 i_1 \div 2R$ とせば

$$Ri_1 = 2S_1 - \frac{2h_1}{j_1}$$

- 16 -

安全視距と縱斷曲線半徑

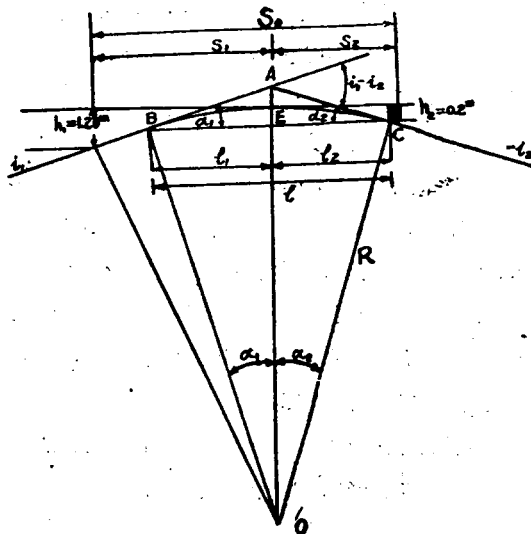


同様に、

$$Ri_2 = 2S_0 - \frac{2h_2}{i_2}$$

$$\therefore R(i_1 + i_2) = 2S_0 - 2\left(\frac{h_1}{i_1} + \frac{h_2}{i_2}\right) \cdots (21)$$

■-17



■-18

今 $i_1 + i_2 = G$ とし且し近似的に $i_1 = i_2$ なる時を考へると、

$$R \cdot G = 2S_0 - 4\left(\frac{h_1 + h_2}{G}\right)$$

$$\therefore R = \frac{2S_0}{G} - \frac{4(h_1 + h_2)}{G^2}$$

G を $i_1 - i_2$ の形に置くと

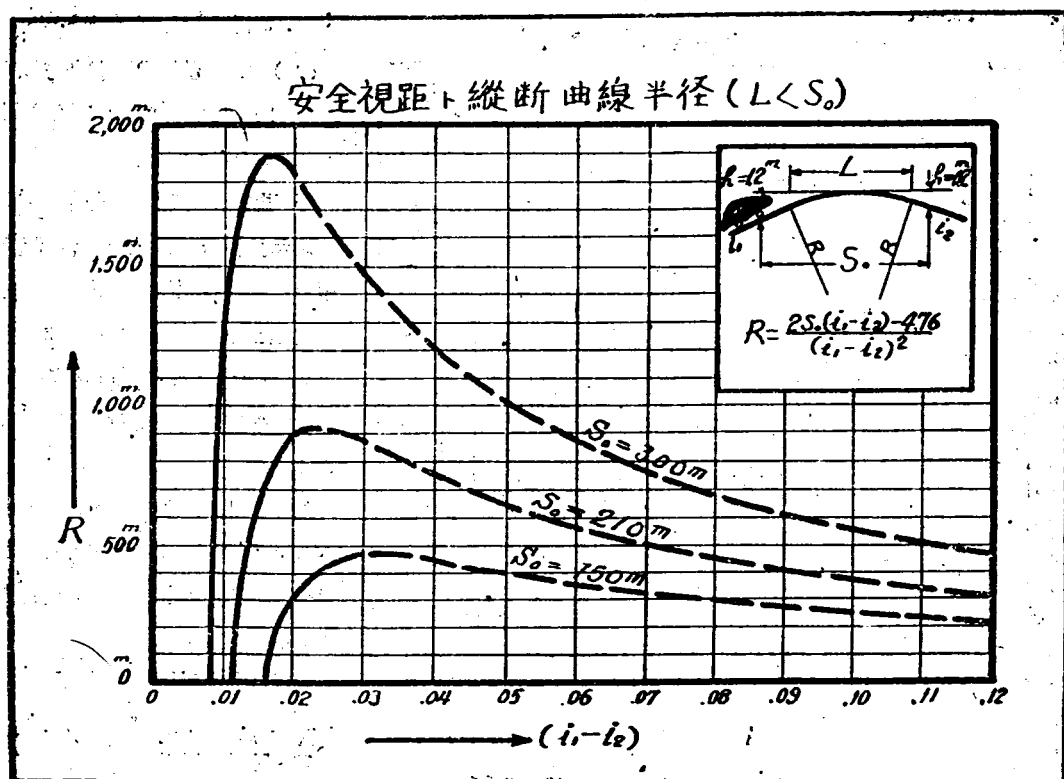
$$R = \frac{2S_0(i_1 - i_2) - 4(h_1 + h_2)}{(i_1 - i_2)^2} \quad \cdots \cdots \cdots (21)$$

$$L = 2S_0 - \frac{4(h_1 + h_2)}{i_1 - i_2}$$

(18)及(19)式と(22)式に於て微小量の省略誤差より、 $h_1 \neq h_2$ の時、 $4(h_1 + h_2) \neq 2(h_1 + h_2) + 4\sqrt{h_1 h_2}$ となりたる故、 $h_1 = 1.20m$ $h_2 = 0.20m$ の時、 S_0 に對して同一曲率を有する平均高さ h_m を求むるに、 $8h_m = 2(h_1 + h_2) + 4\sqrt{h_1 h_2}$ より、 $h_m = 0.595m$ を得る。 $8h_m$ 時 $h = 4.76m$ となり(20)の時に一致する。従つて $S_0 > L$ の時は、

$$R = \frac{2S_0(i_1 - i_2)4.76}{(i_1 - i_2)^2} \quad \cdots \cdots \cdots (23)$$

$$L = 2S_0 - \frac{4.76}{i_1 - i_2}$$



となし得。此の時 R と $(i_1 - i_2)$ と S_0 との関係を示すものが図-18である。図-18に於て用ひらるべき値は實線部分にして R の最大値を求むるに、(23)式より $i_1 - i_2$ を G と置き B を G とつき微分して零と置けば、

$$\frac{dR}{dG} = \frac{2G(2G^2G - 4.76) - G^2 \cdot 2B_0}{G^4} = 0$$

$$\therefore G = \frac{4.76}{S_0}$$

を得此の G を R の式に代入せば R の最大値が得られ、此の R_{max} は $S_0 < L$ の時の R に一致する。

又(20)式と(23)式より得られた縦断曲線長を勾配の代数差($i_1 - i_2$)と安全視距との関係に於て圖示せるものは図-19である。

図-18に於て勾配の代数差の小なる場合、安全見透の爲め必ずしも縦断曲線を挿入する必要なき事が判り、縦断曲線を不要とする。 $i_1 - i_2$ の限界が図より判り、又(23)式より求められる。此の事と同じ事が、曲線長を示す図-19にも見られるが、見透をさまたげぬと雖も急な勾配の変化は自動車の衝激を大にするから、衝激に必要

な曲線を挿入すべきである。

衝激に関する曲線形に就いては、ブロックマン氏の公式がある。

$$R = \frac{V^2}{360}, \therefore L = \frac{V^2(i_1 - i_2)}{360} \quad \dots\dots(24)$$

然しそは極めて小なる半径を與へ、高速道路には適しない。従つて自動車専用道路の縦断凸曲線形は(20)式又は図-18に於て決定するを適當とする。

5. 夜間安全距離

夜間安全視距とは Head-light Safety Sight Distance であるが、現在までの如く前照燈(Head-light Lamp)の燐光小なる時、自動車は固定の燈柱或は反射鏡の如き照明装置を必要とし乃至は速度を低下するより方法がなかつたものを前照燈の能力に依り晝間と同様に走行せんとする新しき概念である。

日本内務省令第14條に依れば、(自動車取締規則)

(1) 自動車々輛の前面兩側に各1個の前照を備ふること。

(2) 50米前方の障碍物を明瞭に認め得べき燐光を有すること。

(3) 主要光線の限界は前方25米以内に在りては地上1.2米を超えること。

等が規定されてゐる。是等は自動車の速度小なる時は差支なきも、制動距離の大なる自動車専用道路では安全なる走行は素より期し難い。又速度を低下せぬ丈の照明装置を備ふるには莫大なる経費を要することは蓋し明らかである。

即ち晝間安全視距を Head-light Sight Distance に一致せしむることは合理的自動交通に緊要なる問題である。

最近の米國のHead-light Lamp工場に於て、夜間1000ftの前方に在る白色路上障碍物を認知し得ることを發表

図-19

見透距離 = ヨル 縦断曲線長サ

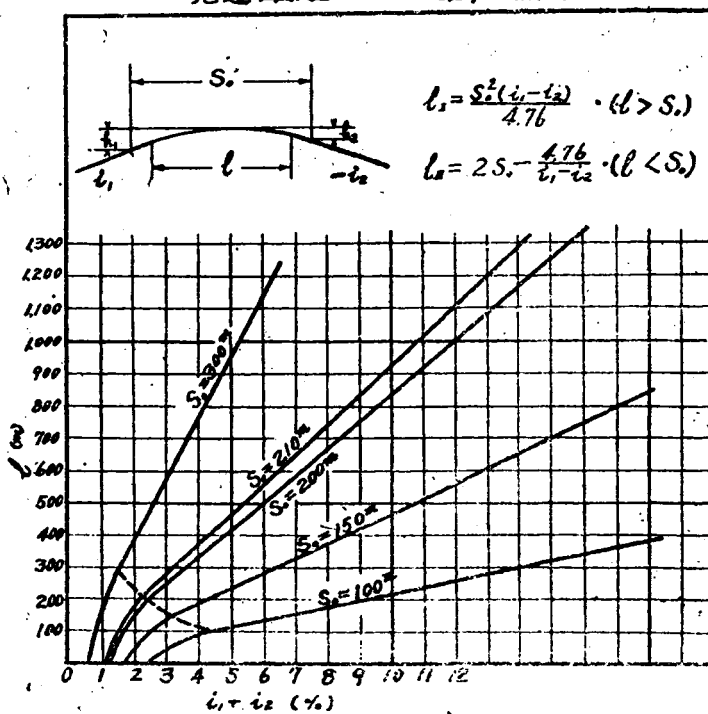
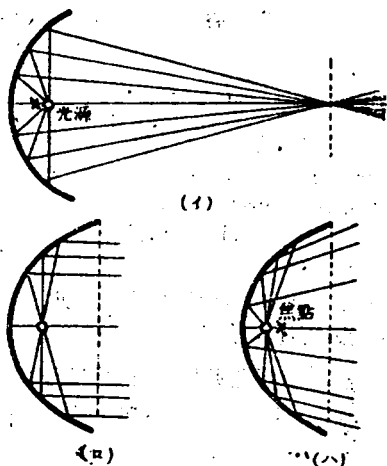


図-20

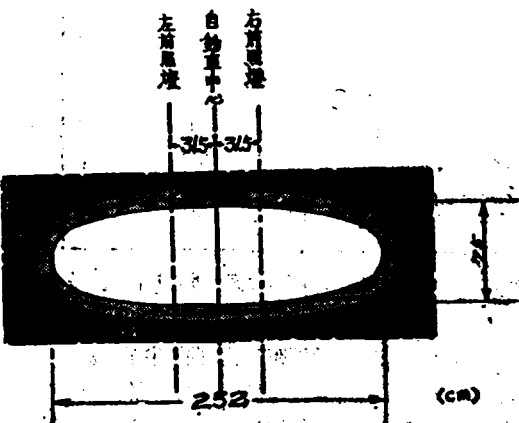
反射器断面



し概念である。

(1) ヘッドライトランプ (Headlight Lamp) に就いて、

図-22



せる爲め、ペンシルヴニア貿易委員會では直ちに調査せる所、州法規上の許容最大燐光の $\frac{1}{3}$ なる 2,500 燐光で前記聲明の明瞭且、眞實なるを認め、更に將來は 1000ft の前方に於て黒色路上障礙物の認知可能なる前照燈が、自動車に取付けられる可能性を確信した。今後の自動車専用道路には此の事實に即し、曲線及び切取斜面等を決定せねばならぬ。又斯る着想は當然有り得べかり

ヘッドライトは強力なる燐光を用ふるべきは當然であるが、前方を照すには又光源と反射鏡の焦點との調節に着眼せねばならぬ。図-20は此の關係を示す略圖であるが光源を焦點より僅かに後方に置くと適當な擴りを有して同一照度を以つて主要光線を送り得るのである。

又左右のヘッドライトは調整に依り前方の主要光線を隋圓形に集中し得る。図-21はシボレー車 (Chevrolet) の前照燈整列調整を示す。

此の時幕に影じたる明るき影像は

図-22の如くなる。

此の時の主要光線の横の擴り角を α とせば α は次式より得られる。

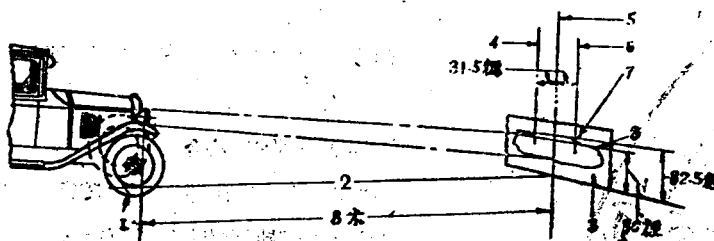
$$\alpha = \tan^{-1} \frac{\text{前照燈の直径}}{\frac{\text{前照燈と前照燈との距離}}{2} + \text{調整距離}} \quad \dots \dots \dots (25)$$

前照燈の直径を D、左右前照燈の中心間隔を B、地上より前照燈の中心迄の高さを H とせば、満洲に多い所の車の主なるものに就き掲げたものが表-5である。

又 α は上記シボレーでは $60^{\circ} \sim 30^{\circ}$ フードでは $8^{\circ} \sim 45^{\circ}$ 位である。

図-21

シボレー車前照燈整列調整



1. 白幕の中心線 5 は自動車の中心線と一直線に亘つて直角なることを要し、尚自動車と白幕とは水平なる床面上に置くことを要す。
2. 2 なる寸法は前照燈より白幕迄とす。
3. 白幕
4. 左側前照燈中心線
5. 白幕中心線
6. 右側前照燈中心線
7. 照明限界線 (ロードスター及びクーペの光の頂部)
8. 照明限界線 (5人乗、カブリオレー、3/4 両貨物自動車の光の頂部)

表-8 乗用車の前照燈 (cm)

種別	前照燈の直徑 D	左右前照燈の中心間隔 B	前照燈の地上高 H
Dodge Brothers	20	79	96
Ford	横17縦21	80	75
Nash No.1	19	98	81
Packard	21	81	88
Nash No.2	19	80	98
Fiat	17	72	80
Nissan	18	95	100

光のレンズの所に於ける高さは表-8 の H に $\frac{D}{2}$ を加へると其の上下端を知り得。

(2) ヘッドライト安全視距と平面曲線半径

夜間自動車が走行し曲線上を走る時は、前照燈の光の擴がりを應用し先行の車を認知しなくてはならぬ。小屈

曲に於ては迴轉方向に 45° に偏倚する誘導燈 (Pilot-Ray Lamp) を有するものもあるが、通常は図-23の如く考へねばならぬ。自動車は停止せんとする時直進する傾向があるから、圖の如く前方の車が車線の外側に在り後進の車が車線の内側に倚りて進む時を考へれば良い。図-23に於て

$$\begin{aligned} y &= (R - b + a) - x \tan \alpha \\ y^2 + x^2 &= (R - a)^2 \end{aligned} \quad \left. \right\} \quad (26)$$

なる關係が在る。 $x = S$ ならしめ R を求むれば、

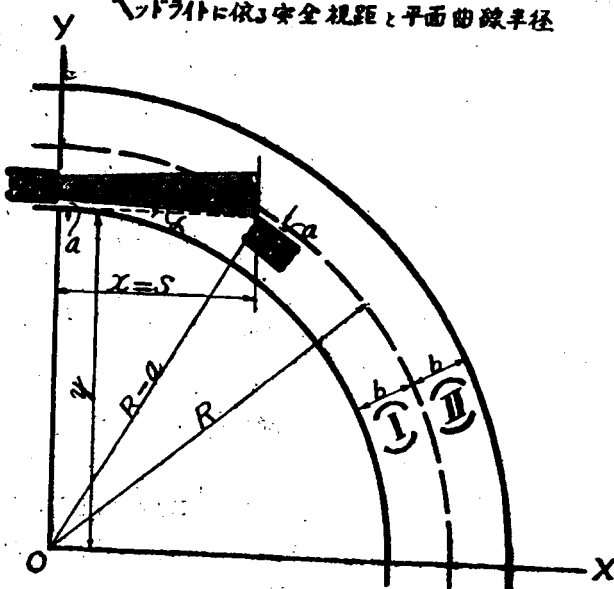
$$R = \frac{b(b-2a) + 2S(b-a)\tan \alpha + S^2(1+\tan^2 \alpha)}{2(b-2a) + 2S\tan \alpha} \quad (27)$$

を得る。但し $a = 0.6m$ であり、 b は (I) に在る先方車を考へる時は $3.75m$ とし、先行車が (II) に在る時は b を $7.50m$ とする。前照燈照明能力 S を畫面安全視距に一致せしめ、各地形に於ける最小半径を算すれば、表-8 を得る。

表-8 光の水平擴がり a の値

種別	b	S = 300m R = 1800m	S = 210m R = 1000m	S = 150m R = 600m
(I) 車線に先行車在る時	0.6m	3.75m	40~20'	50~24'
(II) 車線に先行車在る時	0.6m	7.50m	30~29'	40~25'

ヘッドライトに依る安全視距と平面曲線半径



$$R = \frac{b(b-2a) + 2S(b-a)\tan \alpha + S^2(1+\tan^2 \alpha)}{2(b-2a) + 2S\tan \alpha} \quad (27)$$

即の、 α の値はシボレー前照燈整列整調に於て求められた $60^\circ \sim 30^\circ$ より小さな爲め先行車は照明限界に於て認知される筈であり、夜間と雖も畫面と同様速度で走行し得ることになる。

(3) ヘッドライト安全視距と縱断曲線半径

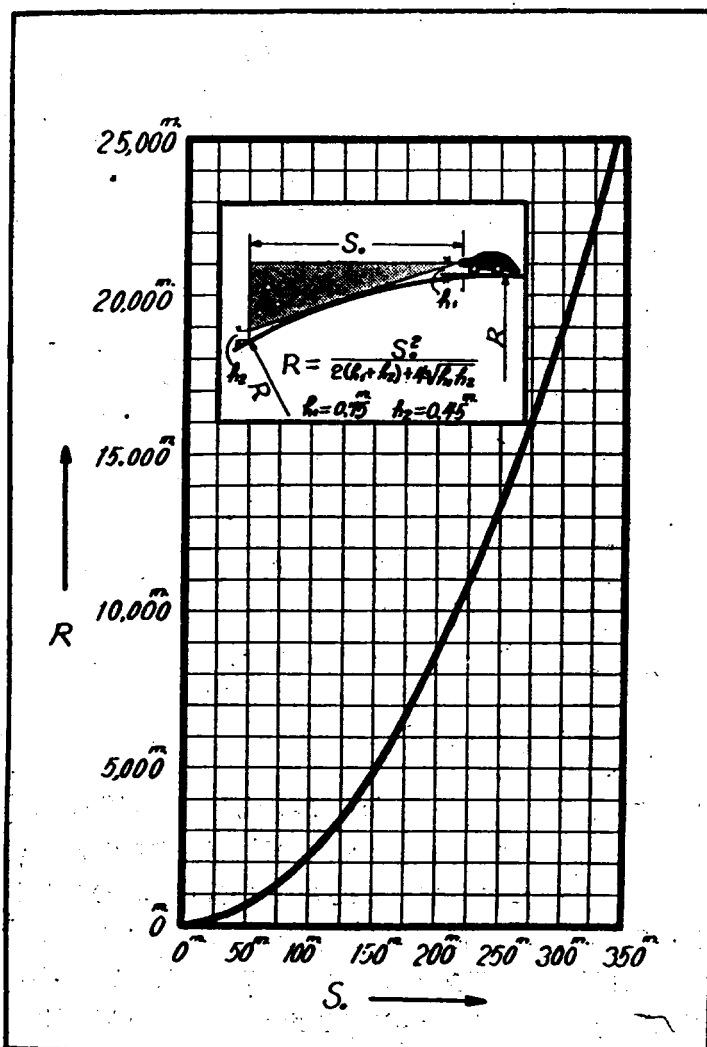
(a) 凸曲線の場合

ヘッドライトに依り路上前方の障礙物を認知せんとする時照明能力を畫面安全視距に一致せしむれば、之の時の凸曲線半径は畫面の場合と同一の方法に依り求められる。

夜間の障碍物の大きさの認知は困難であるから、障碍物を發見したる時停止するか又は速度を低下することになる。R を求むる式は、(18)式と同様になり、

図-24

ヘッドライトによる安全視距と縦断凸曲線半径



$$R = \frac{S^2}{2(h_1 + h_2) + 4\sqrt{h_1 h_2}} \quad \dots \dots \dots (28)$$

を得て光の上方傾がり角に無関係である。ヘッドライトの下端の高さを $h_1 = 0.75m$ と置き、障碍物を $h_2 = 0.45m$ とせば、所要縦断曲線半径は図-18のものに殆んど一致する。

(b) 四曲線の場合

ヘッドライトの主要光線の傾がりの上方限界と水平線のなす角 α は米國の實驗に依れば 1° である。

図-25に於て

$$\begin{aligned} y &= Stand - (R - h) \\ y^2 + S^2 &= R^2 \end{aligned} \quad \dots \dots \dots (29)$$

$$R = \frac{h(h+2Stand)}{S^2(1+\tan^2\alpha)} \quad \dots \dots \dots (30)$$

を得る。之の R はブロックマン衝激に因る半径より遙かに大となり $S=300m$, $210m$ 及び $150m$ に相應する。四曲線半径は、 $7600m$, $5000m$ 及び $3400m$ となる。

6. 縦断曲線の挿入法

縦断曲線の挿入は從來曲線長を適當に撰び挿入した傾向があるが、曲率と曲綫長と勾配には密接なる關係があるから曲率を明瞭ならしむる爲め圓曲線(近似)を挿入す。図-26に於て、

$$x^2 + R^2 = (R + y)^2$$

$$\therefore x^2 = 2Ry + y^2$$

R に比し y^2 は微小なれば省略すると、

$$\begin{aligned} L &= R \cdot I \\ y &= \frac{x^2}{2R} \end{aligned} \quad \dots \dots \dots (31)$$

但し y = 縦断曲線に於ける勾配と曲綫間の綫距

x = 曲線始點よりの横距

L = 縦断曲線長

I = 勾配の代數差

を得て簡単に曲線を挿入し得。又 R

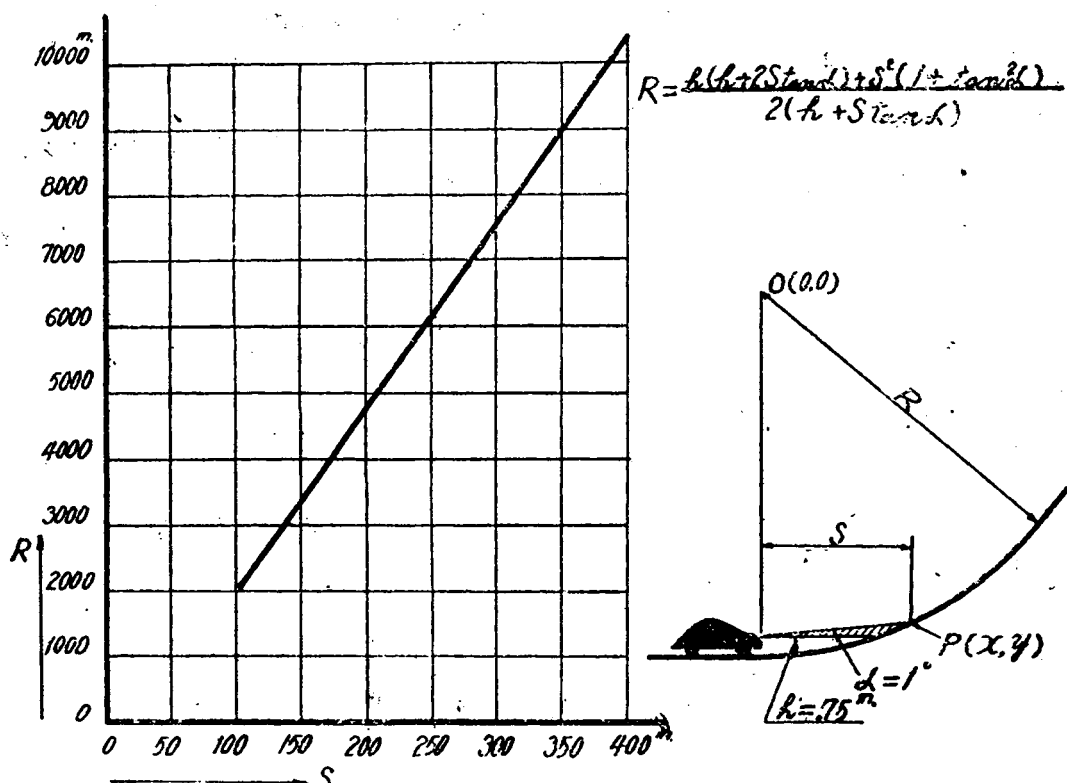
は平坦、丘陵、山岳部に就き一定の値を有するを以つて、所要曲線長は極めて明瞭である。

5. 車線幅と自動車の屈曲半径

車線幅員は自動車の最大幅に走行時の餘裕を附したるものであるが、此の餘裕を速度の函数として出した公式もあるが、高速度走行には適せざるものが多い。日本及滿洲に於ける自動車の最大車幅は $2.2m$ で獨逸では $2.5m$ であり他の諸國に於ては大體 $2.20m$ 位である。自動車の

図-25

横断曲線半径とヘッドライトによる安全視距との関係



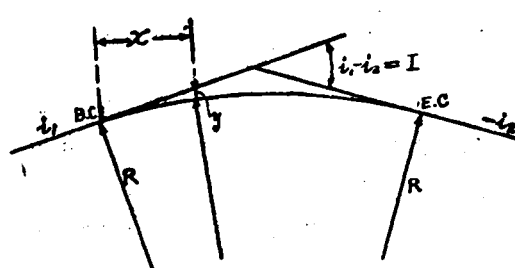
將來の最大車幅を2.5m とし之の1.5倍を以つて車線幅員となすも異論なき所であらう。

A. 本線を走行する場合

本線とは交叉個所、待避所、休車場以外の自動車が最高速度で疾走し得る區間を謂ひたるものなるも、屈曲部に於ける半径は 600m~1800m 以上を有し如何なる自動車が運行するも尚車線に餘裕を相當持す。

B. 交叉個所

図-24



交叉個所に於ては合理的立體交叉を施す爲めには廣大なる地盤を必要とするが故に、若干速度を低下しより小半径の曲線を取る。図-27(a)、(b)、(c)は自動車専用道路の交叉方法と其の曲率を示すものであるが、此等の場合最小半径はクロバー型交叉に於て見る如く 50m 位となる。(a)は地方道路との交叉方法、(b)は自動車専用道路相互の十字交叉、(c)は自動車専用道路の三叉分岐を示す。

今交叉個所の最小半径50m(専用道路に就いて)を以つて図-28の如き長物運搬が可能なるや否やを検するに、

L = 積載長物の長さ

S = 長物の幅

I = 自動車の前端より後輪軸までの距離(6.5m とする)

B = 自動車の車幅(2.5m とする)

W = 車線の幅(3.75m)

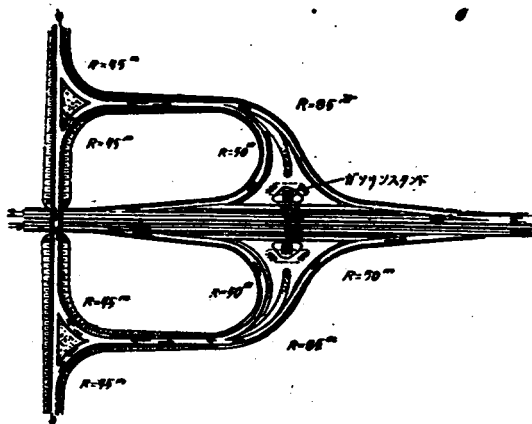
R = 屈曲半径

なる。

獨逸の自動車専用道路に於ける法規上の自動車の最大長は22.0mとし、車幅をとし其の構造は、最大許容軸荷重と輪帶幅負荷の制限内に於ては、一切自由である。上記直線的長物運搬に支障なきR=50mは勿論、附隨車を連結する如き場合にも安全である。

C. 附隨車を有する時横幅を要せざる最小半径

列車自動車乃至は附隨車を有する牽引車が小なる曲線を走る時、前輪より後輪が、更に前進車より後續車が常に内側へ偏倚せんとする傾向を有す。



とせば、図-23の関係が成立す。図より

$$\begin{aligned} \overline{Oq} &= \sqrt{(R+W)^2 - l^2} - \frac{B}{2} + \frac{S}{2} \\ \overline{Oq}^2 &= x^2 + (R+S)^2 \\ (R+W)^2 &= (L-x)^2 + (R+S)^2 \end{aligned} \quad \left. \right\} \dots (32)$$

が得られ $S = 1.20m$ とせば、(32)式より $L = 29.15m$ を得る。又 $S = B = 2.50m$ の場合は(32)式より $L = 21.15m$ を得る。従つて理論上は以上の長物運搬が可能であるが、實際には若干の餘裕が尚欲らせられるので之の L より小と

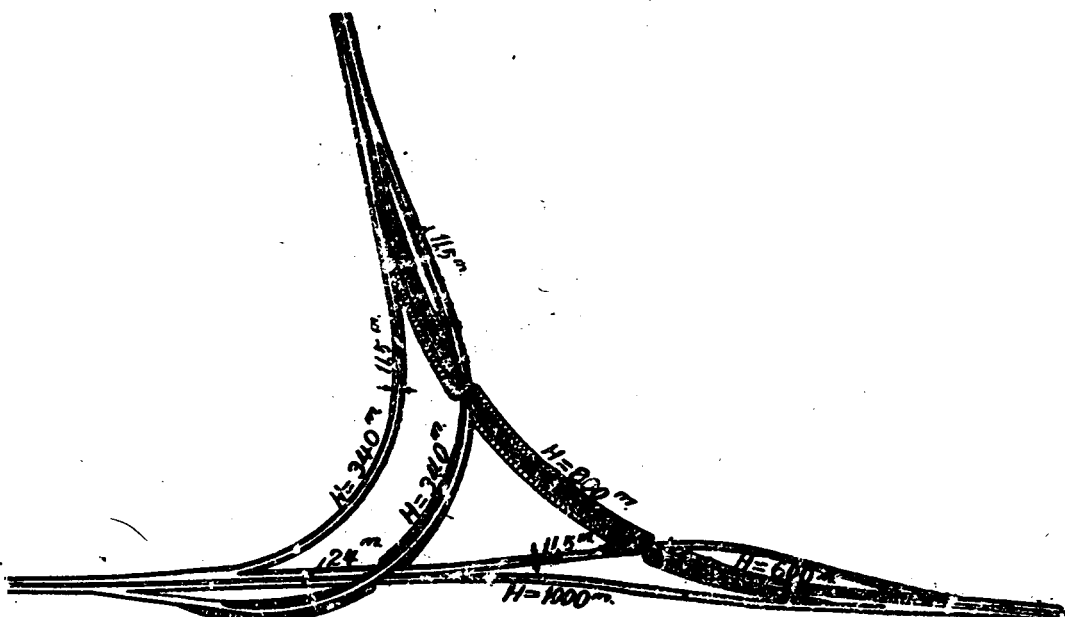
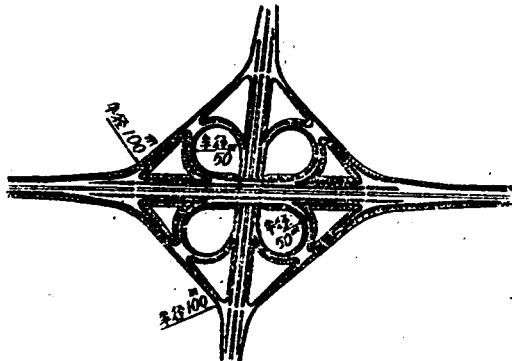
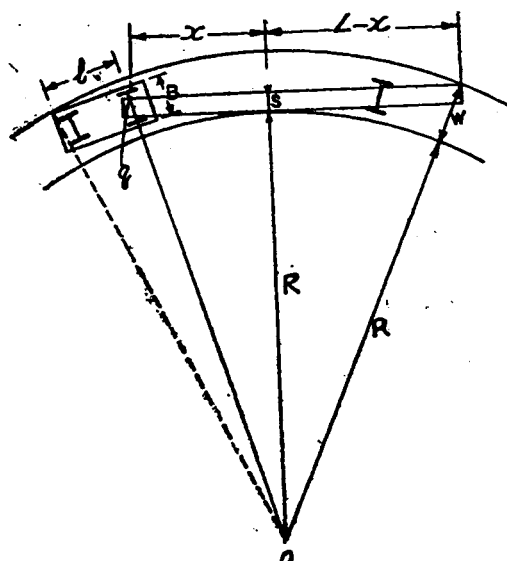


図-28



幅をせざる場合に多數のトレーラーを有する自動車が廻り得る最小半径を求めるに當り、特殊な連結装置を施し或はトレーラーをボギー化 (Bogie system) することに依り牽引車と殆んど同一軌跡を運行し得る牽引方法を考究して見ることにする。

(1) 回轉盤を有するボギーレーラー

此の方法は圖にも在るがトレーラーの前後輪が同一軌跡を書き且牽引車の後輪の軌跡に一致せしむる方法である。圖-29に示すものは滿鐵自動車局の研究に成るものであるが、回轉盤と車軸を鋼錠にて相互連絡し牽引車の後輪の書く軌跡に後續車輪軌跡が一致す。此の時幅を要せざる最小半径は11.80mである。

(2) 固定連結錠に依る方法

圖-30に示すものは著者が考へて西たものであるが、連結錠の長さ(前の車の後輪軸から連絡點までの距離) L_1

図-29

二輪以上トレーラーが同一軌跡を運行する為の装置

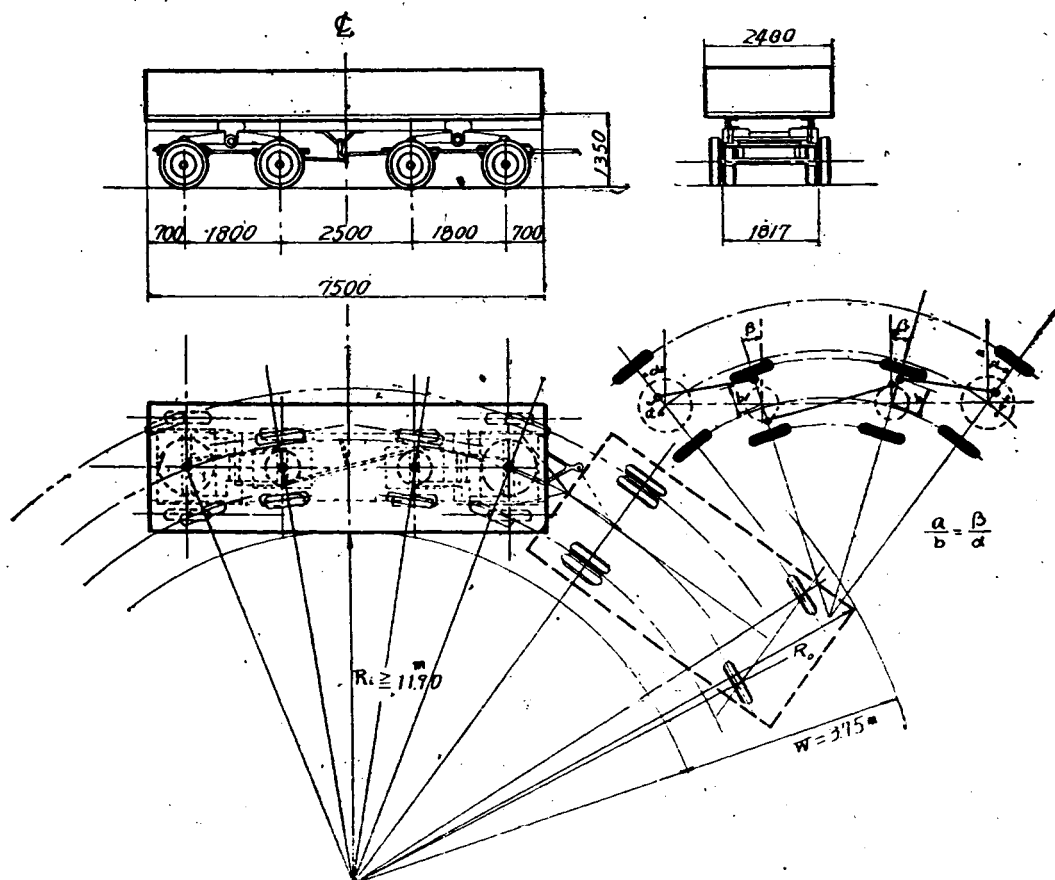
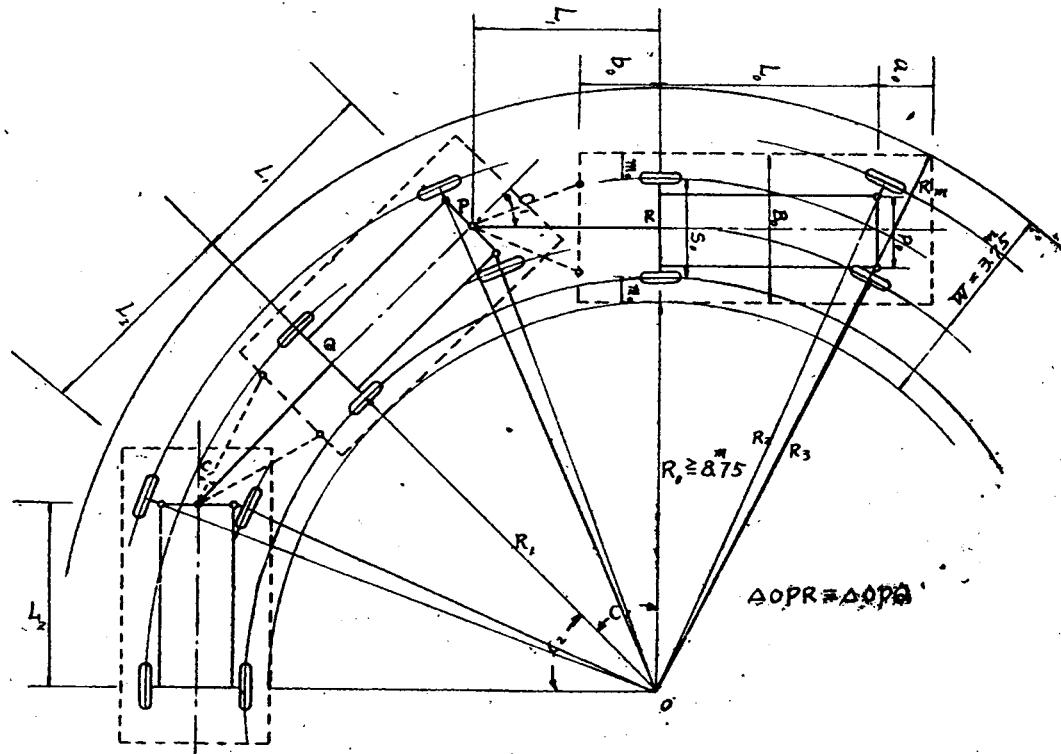


図-30



と後續車輛の軸距 L_1 を等しくし、且鉄の方向を前の車の軸方向に一致せしむることに依り凡てのトレーラーに同一軌跡を運行せしめんとする方法である。車輪は常に凡ての同心圓に切線をなす方向に運動するから、 L_1 は長さの相等しき切線長となり $(R_o + m + \frac{S_o}{2})^2 + L_1^2 = \text{一定}$ なる時はトレーラーの車輪は同一圓上を運動する。此の方法は簡単で目的を達し得るが、連結鉄の衝撃を大ならしめる。

(3) 特殊なる連結機構を有する牽引方法

図-31(a)に於て y. d. e. は不動滑節 (Theoretical Hinge) であり、a. b は可動滑節 (Movable Hinge) である。又 B點は(c)に示すごとく滑動連結 (Slide Connection) である。

ad, bc を腕として $dabc$ は Watt の近似直線運動機構を形成する。 $\bar{L} = \bar{E} = 0$ なる時は $\lambda = 0$ となり B は \times に一致する $\Delta yBd = 0$ に於ては

$$\frac{N}{\sin C} = \frac{L - N + \lambda}{\sin E} \therefore \frac{L - N + \lambda}{N} \sin C = \sin E$$

又 $b/c \sin A = a/d \sin E$ なることから

$$\frac{bc}{ad} \sin A = \sin E$$

故に、

$$\frac{L - N + \lambda}{N} \sin C = \frac{bc}{ad} \sin A \quad \dots \dots \dots (38)$$

なる関係が存在する。

連結鉄が牽引車に引かれるとなる水平移動を生ずるとトレーラーの前輪は自ら \bar{L} なる迴轉を機械的に起す。

\bar{L} が小なる時は

$$\frac{L - N}{N} \sin C = \frac{bb}{ad} \sin A$$

であるから L を $bc : ad = L - N : N$ ならしむれば、 $\sin C = \sin A$ となり鉄の方向と前輪の方向が殆んど一致する。即ち (a) に於いて鉄に平行なる線 $b'B'$ は $b'c$ に殆んど直角となり $\bar{L} = \bar{L}'$ となる。

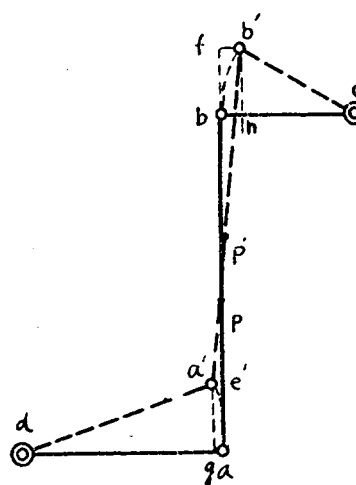
本連結機構はアフカーマン氏の構想を基礎自動局開拓氏がモデル化し、著者が機構を解析したものであるが殆んど數個のトレーラーが隔離なしで進行し得る。

D. 單車運行の場合

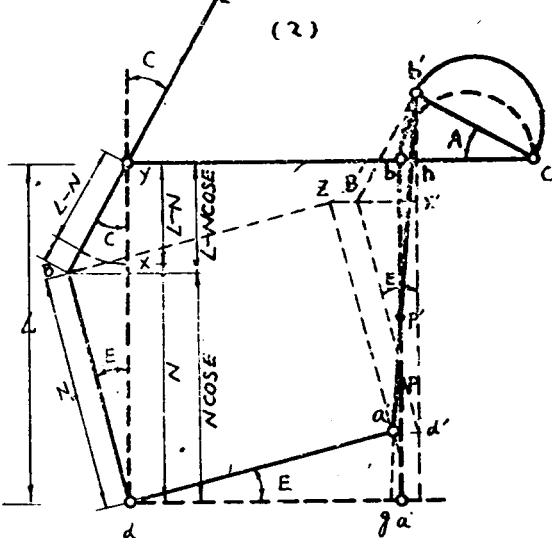
図-31

トーラー連結リンク機構 (一)

Watt の近似直線運動機構



トーラー連結リンク機構 (一)



単車は其の寸法を決定せば幅を要せざる最小半径を求め得る。(1)及び(2)の半径より大なることは殆んどない。

以上本線、交叉箇所、列車自動車運行時、乃至は單位

運轉時の最小屈曲半径に依り道路及荷積場、休車場、駐車等の最小曲線半径を求めて線形の設計が可能である。

トーラー連結リンク機構 (二)

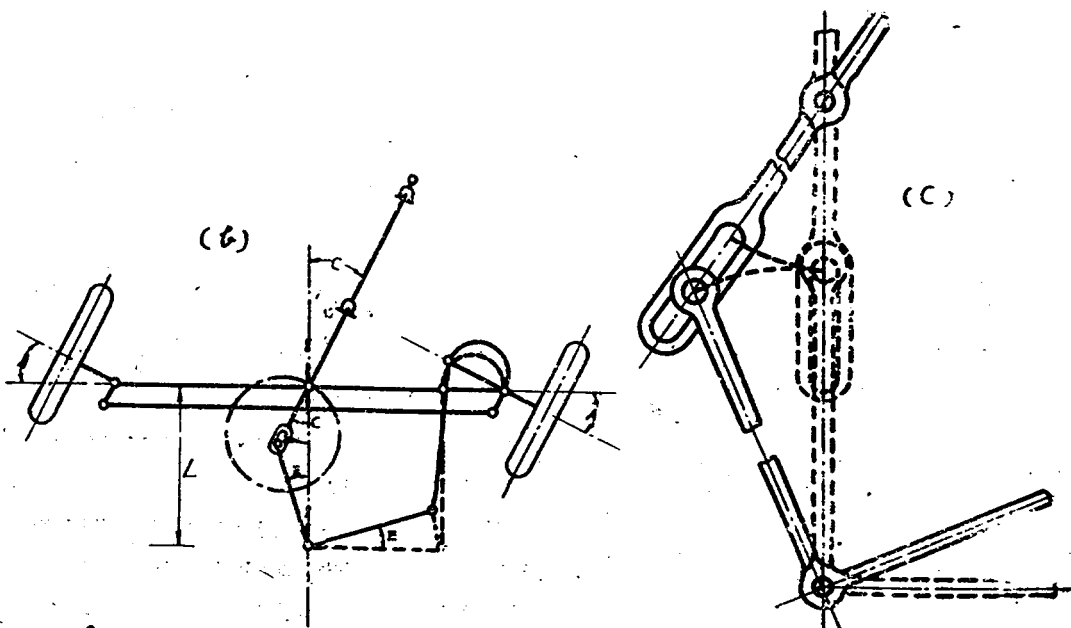


図-32

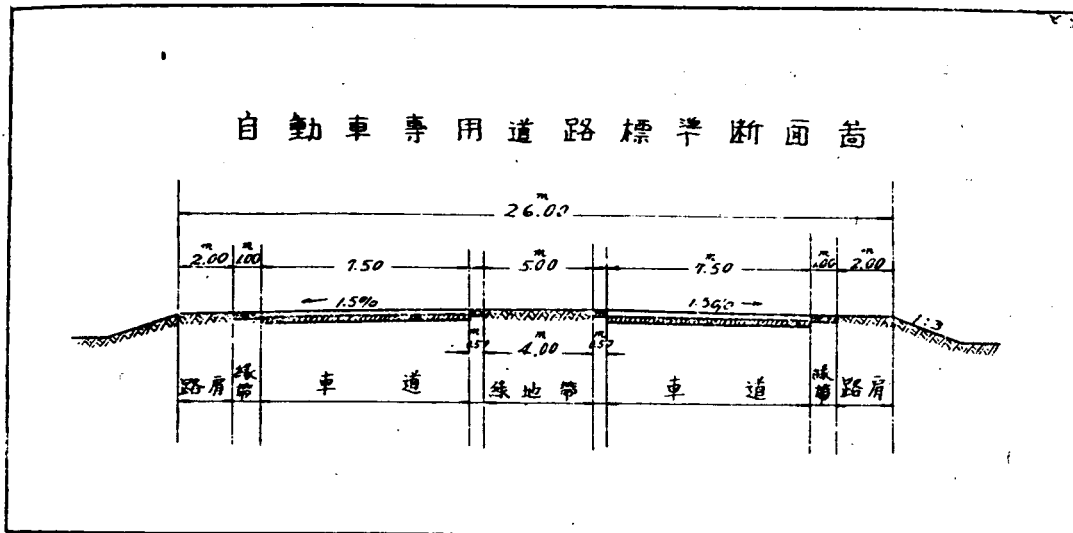
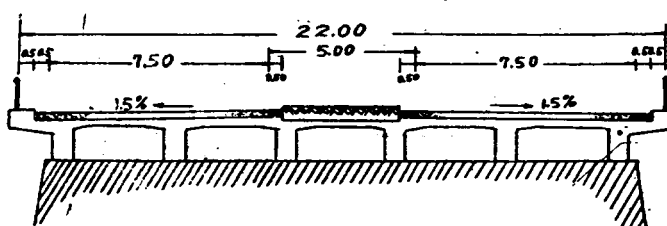


図-33

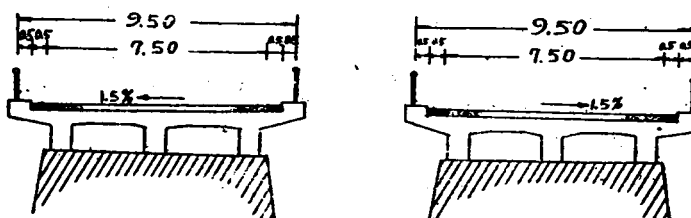
橋梁横断面図

単位(呎)

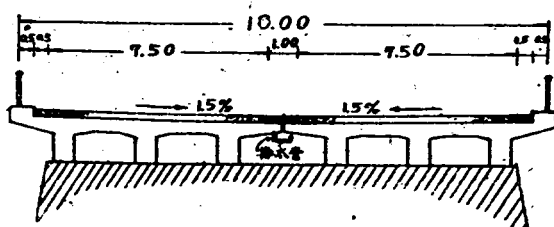
純径間 30.00未満



純径間 30.00以上



純径間 30.00以上



6. 自動専用道路の標準構造

A. 標準横断面

図-32は理想的な自動車専用道路の横断圖を示す。中央綠地帶は美觀を添ふると共に、屈曲部に於ては柵木を植えヘッドライトの左右交通に於ける交錯を消すのに役立つ。車道の両側の綠帶は車道の舗装と反對色を取り自動車走行の安全感を増すに大いに役立つ爲めのものである。

曲線部に在りて片勾配を附する時は兩車道の内側端を起點とし別々にカントを附し原則として中央綠地帶は水平に置く。之を乘越す陸橋は 22.0m を純徑間とし橋脚は綠帶の外に置き曲線部に於て前方の見透を良好にすることが好ましい。總相員は必要に應じ擴大せしむるものとす。

自動車専用道路が他の水路鉄道等を越

える時の橋梁部は30m未満の小徑間の時は其の橋の幅を通し(但し路肩部を除く) 30.0m以上の橋梁に在りては防空上の考慮あるものは相距て、二橋に分離し、其の考慮を要せざるものは一橋として中央帶を除くか、或は中央帶を除きたる二橋を併列架橋するものとする。

図-33は其の概要を示す。

又隧道は原則として図-34の如き形を取り左右車線は分離して通過する方が隧道の構築を合理的ならしめ得る。尚土被り小なる時は箱型ラーメンとする方が便利であらう。

B. 本計算に依る自動車専用道路の規格

以上算出せる結果より基本的規格を決定し、之を獨逸のアウトバーンと比較し又從來の國道規格と比較せば次の如くである。

図-34

隧道断面圖

單位(m)

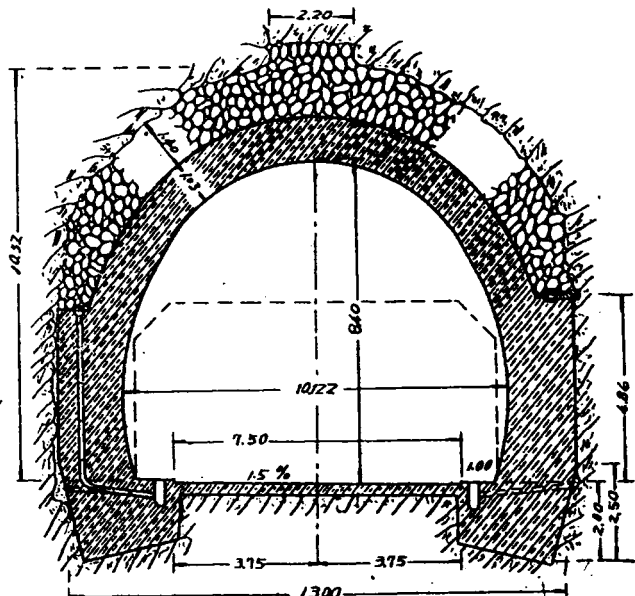


表-7 自動車専用道路の規格

規 格	獨逸ライヒスアウトバーン			本 計 算 に 依 る 自 動 車 専 用 道 路			普通國道規準(日本)		
	平坦部	丘陵部	山岳部	平坦部	丘陵部	山岳部	平坦部	丘陵部	山岳部
設 計 最 高 速 度 (km/h)	160	140	120	160	140	120	60	60	40
安 全 視 距 (m)	235	200	150	300	210	150	100	100	60 (30~20)
最 小 平 面 曲 線 半 徑 (m)	1,800 (1,200)	1,000 (800)	600 (400)	1,800	1,000	600	300	150	50 (15~11)
最 急 勾 配 (%)	4.0	6.0	8.0	3.0	5.0	6.0	3.0	4.0	5.0 (10.0)
凸 縱 断 半 徑 (m)	16,000	9,000	5,000	19,000	9,000	5,000	350~1,000	750~830	330~550
凹 縱 断 半 徑 (m)	8,000 (5,000)	5,000 (3,000)	3,000 (1,000)	7,500	5,000	3,500	350~1,000	750~830	330~500

註 ()は止むを得ざる時の縮少範囲、普通國道の縦断半径は曲線長より換算せり。

7. 結 言

以上自動車専用道路の設計中形線に關するものゝみに就いて論じたが、普通道路工學で取扱ひ居るものは省略した。尚勾配及其の制限長に關しては自動車の規格性能を合理的に決定し、今後詳細に研究することにしたい。

自動車構造に關しては滿鐵自動局長田中孝平氏及同局岡剛氏より多大の助言を得た。厚く謝意を表する次第である。尚計算及び圖表の作製に當った交通部道路司直轄工事科大島技佐以下の諸君に深謝する所である。(了)
(2600-12-25)